

C P G

COORDENAÇÃO DOS PROGRAMAS DE PÓS-GRADUAÇÃO

Universidade Federal da Paraíba

ESCOLA POLITÉCNICA

Campina Grande - Paraíba - Brasil



CRESO SANTOS DA ROCHA

SOLUÇÃO EXATA PARA
UM GUIA DE ONDA LUNAR
SIMÉTRICO

ESCOLA POLITECNICA DA UNIVERSIDADE FEDERAL DA PARAIBA
COORDENAÇÃO DOS PROGRAMAS DE PÓS-GRADUAÇÃO EM ENGENHARIA

GRAU DE MESTRE EM CIÉNCIA

= FORMULARIO DE ACEITAÇÃO DE TESE =

A tese seguinte é apresentada como exigência parcial para obtenção do grau de Mestre em Engenharia Elétrica.

TÍTULO DA TESE: "Solução Exata para um Guia de Onda Lunar Simétrico"

Apresentada por: CRESO SANTOS DA ROCHA

Data: /DEZEMBRO/1971

Comentário do Examinador:

A tese acima foi examinada e julgada, tendo sido

- 1. aceita com distinção;
- 2. aceita sem modificações;
- 3. aceita com pequenas modificações;
- 4. aceita com grandes modificações;
- 5. não aceita

EXAMINADOR:

PAAVO A. VUORINEN

Assinatura:

Pavo A. Vuorinen

Data:

8/8/72



R672s

Rocha, Creso Santos da.

Solução exata para um guia de onda lunar simétrico /
Creso Santos da Rocha. - Campina Grande, 1972.
79 f.

Dissertação (Mestrado em Engenharia Elétrica) -
Universidade Federal da Paraíba, 1972.

"Orientação : Prof. Dr. Paavo A. Vuorinen".
Referências.

1. Ondas Elétricas. 2. Guia de Ondas. 3. Guias Lunares.
4. Equações de Maxwell. 5. Engenharia Elétrica -
Dissertação. I. Vuorinen, Paavo A. . II. Universidade
Federal da Paraíba - Campina Grande (PB). III. Título

CDU 621.37(043)

SOLUÇÃO EXATA PARA UM GUIA
DE ONDA LUNAR SIMÉTRICO

CRESO SANTOS DA ROCHA

TESE SUBMETIDA AO CORPO DOCENTE DA COORDENAÇÃO DOS CURSOS DE
PÓS-GRADUAÇÃO DE ENGENHARIA DA UNIVERSIDADE FEDERAL DA PARÁ
BA COMO PARTE DOS REQUISITOS NECESSÁRIOS PARA A OBTENÇÃO DO
GRAU DE MESTRE EM CIÊNCIAS (M.Sc.)

ORIENTADOR: PAAVO A. VUORINEN

CAMPINA GRANDE
ESTADO DA PARAÍBA-BRASIL
DEZEMBRO DE 1971

R E S U M O

O uso de guias de onda com secção transversal diferente dos de secções retangulares e cilíndricas não é muito difundido devido, principalmente, às dificuldades matemáticas de obtenção de soluções exatas. O trabalho se constitui na obtenção da solução exata, utilizando exclusivamente as equações de Maxwell, de um guia coaxial cujos cilindros internos e externos estão ligados ao longo de toda sua extensão por uma lâmina de material condutor. São determinados comprimento de onda de corte, faixa de passagem, capacidade de potência de transmissão, potência máxima de pico, potência de perda e coeficiente de atenuação.

O trabalho objetiva servir como elemento comparativo na aplicação de métodos não exatos para guias lunares simétricos e assimétricos.

I N D I C E

CAPÍTULO I - INTRODUÇÃO	1
CAPÍTULO II - REVISÃO DE CONCEITOS BÁSICOS	
2.1. Equações de Maxwell.	4
2.1.1. Vetores Adicionais de Campo.	5
2.2. Resumo sobre Condições de Contorno entre dois meios	6
2.3. Vetor de Poynting.	9
2.4. Equações de Onda em Coordenadas Cilíndri - cas.	9
2.4.1. Condições de Contorno.	10
2.4.2. Comprimento de Onda de Corte e Frequência de Corte	12
2.5. Guias Coaxiais	13
2.5.1. Condições de Contorno para o Modo TE . . .	13
2.5.2. Comprimento de Onda de Corte e Frequência de Corte	14
2.6. Condições de Contorno para o Modo TM . . .	15
CAPÍTULO III - ESTUDO SOBRE O GUIA LUNAR CONCENTRICO	
3.1. Introdução	16

3.2. Famílias de Modo TE_{om}	17
3.3. Famílias de Modo TE_{lm}	19
3.4. Famílias de Modo $TE_{1/2m}$	21
3.5. Sumário dos modos TE_{om} , TE_{lm} , $TE_{1/2m}$	23
3.6. Expressões dos campos do Modo TE_{nm}	24
3.7. Expressões de campo para o modo $TE_{1/2m}$	25
3.8. Variação do Campo dentro do Guia	26
 CAPÍTULO IV - POTÊNCIA DE TRANSMISSÃO	
4.1. Potência Média de Transmissão	31
4.2. Potência Máxima de Pico de Transmissão	34
 CAPÍTULO V - CONSTANTE DE ATENUAÇÃO	
5.1. Introdução	40
5.2. Potência de Perda	41
5.3. Constante de Atenuação	46
 CAPÍTULO VI - CONCLUSÕES	
49	
 APÊNDICE A - INTEGRAIS DE FUNÇÕES DE BESSSEL DE ORDEM 1/2	
A.1 - Relações entre as funções de Bessel de or-	
dem 1/2 e as funções trigonométricas	51
A.2 - Integração de Produto de Funções de Bessel	51
 APÊNDICE B - FAMÍLIA DE MODOS TE_{no} NOS GUIAS CILÍNDRICOS	
56	
 APÊNDICE C - PROGRAMAS PARA OBTENÇÃO DAS FUNÇÕES DE BES-	
SEL	
C.1 - Obtenção de $J_0(x)$ - Programa nº 01	59
C.2 - Obtenção de $Y_0(x)$ - Programa Nº 02	61

C.3.-Obtenção de $J_1(x)$ - Programa nº 03	63
C.4.-Obtenção de $Y_1(x)$ - Programa nº 04	65
C.5.-Obtenção de $J_2(x)$ - Programa nº 05	67
C.6.-Obtenção de $Y_2(x)$ - Programa nº 06	67
C.7.-Obtenção de $J_{1/2}^i(x)$ - Programa nº 07	67
C.8.-Obtenção de $Y_{1/2}^i(x)$ - Programa nº 08	67
C.9.-Obtenção de $J_{1/2}(x)$ - Programa nº 09	68
C.10-Obtenção de $Y_{1/2}(x)$ - Programa nº 10	68
C.11-Obtenção de $J_{1/2}^i(x)$ - Programa nº 11	68
C.12-Obtenção de $Y_{1/2}^i(x)$ - Programa nº 12	68
C.13-Seno Integral - Programa nº 13	68
C.14-Cosseno Integral - Programa nº 14.	69

APÊNDICE D -CÁLCULO DAS RAÍZES DE FUNÇÕES TRANSCEDENTES

D.1 -Comprimento de Onda de Corte para o Modo TE_{0m} - Programa nº 15.1.	70
D.2.-Comprimento de Onda de Corte para o Modo TE_{1m} - Programa nº 15.2.	71
D.3.-Comprimento de Onda de Corte para o Modo $TE_{1/2m}$ - Programa nº 15.3.	72

APÊNDICE E -CÁLCULO NORMALIZADO DOS CAMPOS

E.1.-Componente E_r -Programa 16.1.	73
E.2.--Componente E_ϕ -Programa 16.2.	74
E.3.-Componente H_z -Programa 16.3.	75

APÊNDICE F --POTÊNCIA DE TRANSMISSÃO, POTÊNCIA DE PERDA
E COEFICIENTE DE ATENUAÇÃO

F.1 -Programa nº 17	76
APÊNDICE G --REFERÊNCIAS	79

-- X -- X --

ÍNDICE DAS FIGURAS

Fig. 1.1 - Guias Lunares	2
Fig. 2.1 - Elemento de volume para o cálculo de fluxo normal numa "interface" entre dois meios.	7
Fig. 2.2 - Caminho de integração para componentes tangen- ciais do campo numa "interface" entre dois meios	7
Fig. 2.3 - Guia Cilíndrico de raio $r = a$	12
Fig. 2.4 - Secção Transversal de um guia Coaxial	13
Fig. 3.1 - Guia Lunar Concêntrico.	16
Fig. 3.2 - Gráfico de $F(x) = J_1(ax)Y_1(bx) - J_1(bx)Y_1(ax)$. .	18
Fig. 3.3 - Linhas de Campo Elétrico e Magnético, modo TE_{om} , dos Guias Lunares Concêntricos.	18
Fig. 3.4 - Gráfico de $F(x) = J_1^*(ax)Y_1^*(bx) - J_1^*(bx)Y_1^*(ax)$. .	20
Fig. 3.5 - Linhas de Campo Elétrico e Magnético para o modo TE_{11} e TE_{12}	20
Fig. 3.6 - Gráfico de $F(x) = J_{1/2}^*(ax)Y_{1/2}^*(bx) - J_{1/2}^*(bx)Y_{1/2}^*(ax)$. .	22
Fig. 3.7 - Linhas de Campo Elétrico e Magnético para o modo $TE_{1/2,1}$	23
Fig. 3.8 - Gráfico de $E_{r0}(r)$ contra r (E_r e H_ϕ).	28

Fig. 3.9 - Gráfico de $E_{eo}(r)$ contra r (E_e e H_r)	29
Fig. 3.10 - Gráfico de $H_{zo}(r)$ contra r (H_z)	30
Fig. 4.1 - Elemento de área numa secção transversal de um guia lunar concêntrico	31
Fig. 4.2 - Guia lunar mostrando a variação de θ	35
Fig. 4.3 - Potência máxima de transmissão versus frequênci a em GHz.	38
Fig. 5.1 - Guia lunar concêntrico mostrando a contribuição de cada superfície para a potência de perda.	42
Fig. 5.2 - Elemento de superfície em um guia cilíndrico para as potências P_{L1} , P_{L2} , P_{L3} e P_{L4}	42
Fig. 5.3 - Elemento de área sobre a lâmina condutora . .	44
Fig. 5.4 - A componente de H_r em $\theta = 0$ e $\theta = 2\pi$	45
Fig. 5.5 - A componente de H_z em $\theta = 0$ e $\theta = 2\pi$	46
Fig. 5.6 - Variação da constante de atenuação com a frequência	48

- X - X - X -

ÍNDICE DAS TABELAS

TAB. 2.1 - Condições Gerais de Contorno nos Campos de uma "interface" entre dois meios.	8
TAB. 2.2 - Condições de controrno em Campos Variando com o Tempo em uma superfície de um condutor ide- al no vácuo.	8
TAB. 2.3 - Equações do Campo para o modo TE em Coordena- das Cilíndricas	10
TAB. 3.1 - Comprimentos de onda de corte para os modos TE_{0m} , com $m = 1, 2, 3, 4.$	17
TAB. 3.2 - Comprimentos de onda de corte para os modos TE_{1m} , com $m = 1, 2, 3, 4.$	19
TAB. 3.3 - Comprimentos de onda de corte para os modos $TE_{1/2m}$, com $m = 1, 2, 3, 4.$	22
TAB. 3.4 - Resultados obtidos para os modos TE_{0m} , TE_{1m} , e $TE_{1/2m}$ relacionados com o comprimento de on- da de corte.	23
TAB. 3.5 - Expressões dos Campos do modo TE_{nm}	25
TAB. 3.6 - Expressões para o modo $TE_{1/2,1}$	26
TAB. 3.7 - Tabela de valores para E_r e H_θ normalizados em $r = a$	27

TAB. 3.8 - Tabela de valores para E_θ e H_r normalizados em $r = 0,025$ m.	23
TAB. 3.9 - Valores de H_z normalizado em $r = a$	22
TAB. 4.1 - Potência máxima de transmissão.	37
TAB. 5.1 - Potência de Transmissão, Potência de Perda e Coeficiente de atenuação em função da fre- quência.	41
TAB. A.1 - Tabela de Integrais	54

- X - X - X -

N O T A Ç Ã O

- E - Intensidade de Campo Elétrico
ρ - Densidade de Carga
ε - Constante Dielétrica
B - Densidade de Fluxo Magnético
H - Intensidade de Campo Magnético
J - Densidade de Corrente Elétrica
ω - Frequência angular
 ω_c - Frequência angular de corte
 χ_E - Susceptibilidade Elétrica do meio
 χ_M - Susceptibilidade Magnética do meio
σ - Condutividade
P - Polarização
M - Magnetização
D - Deslocamento Elétrico
μ - Permeabilidade Magnética
δ - Constante relativa a profundidade de penetração
 \vec{S} - Vetor de Poynting
f - Frequência
 f_c - Frequência de Corte

- λ - Comprimento de onda
 λ_c - Comprimento de onda de corte
 c - Velocidade da Luz, $c = 2,998 \times 10^8$ m/s
 $J_n(x)$ -Função de Bessel de 1a. espécie de ordem n
 $Y_n(x)$ -Função de Bessel de 2a. espécie de ordem n
 $J'_n(x)$ -la. derivada de $J_n(x)$ em relação a x
 $Y'_n(x)$ -la. derivada de $Y_n(x)$ em relação a x
 P_o - Potência de Transmissão
 P_L - Potência de Perda devido as parêdes do Guia
 β_g - Constante de Propagação do Guia
 α - Constante de Atenuação
 R_s - Resistência devido ao efeito pelicular

CAPÍTULO I

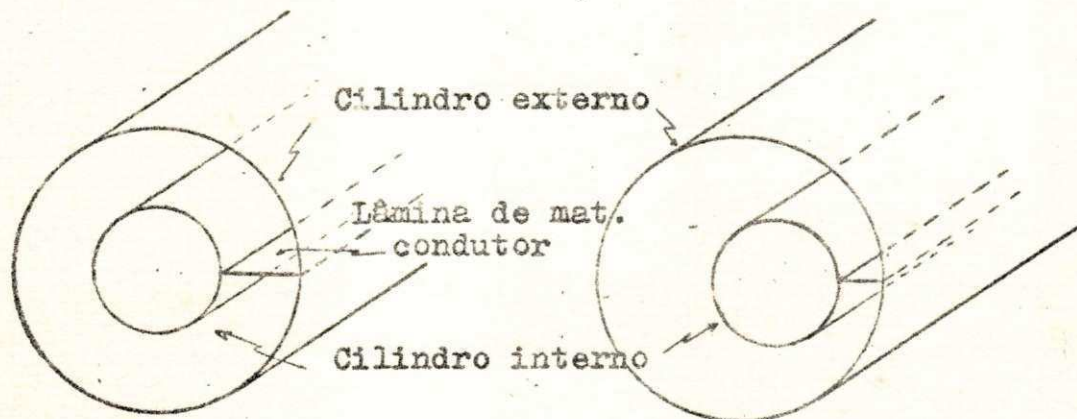
INTRODUÇÃO

Os guias de onda mais comuns são aqueles cujas secções transversais são simples, como os guias cilíndricos e retangulares. O seu uso é mais difundido devido o fácil tratamento matemático bem como devido a sua fácil construção. No entanto não são esses guias os que têm melhores características operacionais, outros com secção transversal mais complicada podem ter características de funcionamento bem melhores para determinados fins.

Existe a possibilidade de construção de guias cilíndricos coaxiais concêntricos ou excêntricos curto-circuitados ao longo de toda sua extensão por uma lâmina de material condutor de mesma natureza que dos cilindros cuja faixa de frequência é igual ou maior que a do guia de secção retangular conhecido, (Fig.1.1)

No presente trabalho desenvolveremos métodos exatos para determinação das características de um guia de onda

lunar concêntrico utilizando as soluções das equações de Maxwell. Métodos computacionais para testar alguns resultados serão utilizados durante todo desenvolvimento do nosso estudo.



a) Guia Lunar Concêntrico b) Guia Lunar Excêntrico

Fig. 1.1. Guias Lunares

No capítulo II faremos um breve resumo dos conhecimentos básicos indispensáveis para a compreensão do texto. Iniciamos no capítulo III o estudo do guia lunar concêntrico para a família de modos TE_{0m} , TE_{1m} e $TE_{1/2m}$. Não estudamos outros modos porque não nos interessava diretamente por não ter modos dominantes. A potência de transmissão e a potência de pico máxima foram estudadas no capítulo IV e finalmente no capítulo V fizemos um estudo da potência de perda e calculamos a constante de atenuação.

É bom salientar que o presente estudo visa apresentar

tar um método exato que servirá de comparação para outros resultados obtidos por métodos não exatos como, por exemplo, o método usando transformações conforme desenvolvido paralelamente por Alcyr J. Monticelli, que possibilitará tratar os guias lunares excêntricos uma vez que o método exato se torna bastante difícil.

Como já tínhamos resultados experimentais obtidos pelo orientador deste trabalho e por Meinke, H.H. & al. (ref. G-05), sem perda de generalidade adotamos em nossos cálculos numéricos os raios dos cilindros internos e externos como sendo respectivamente $a = 0,01945 \text{ m}$ e $b = 0,0340 \text{ m}$.

- X - X -

CAPÍTULO II

REVISÃO DE CONCEITOS BÁSICOS

2.1. Equações de Maxwell

Na forma vetorial as equações de Maxwell são as seguintes:

$$\bar{\nabla} \cdot \bar{E} = \rho/\epsilon \quad (2.1)$$

$$\bar{\nabla} \cdot \bar{B} = 0 \quad (2.2)$$

$$\bar{\nabla} \times \bar{E} = - \frac{\partial \bar{B}}{\partial t} \quad (2.3)$$

$$\bar{\nabla} \times \bar{H} = \bar{J} + \epsilon \frac{\partial \bar{E}}{\partial t} \quad (2.4)$$

ou na forma fasorial

$$\bar{\nabla} \cdot \bar{E} = \rho/\epsilon \quad (2.5)$$

$$\bar{\nabla} \cdot \bar{B} = 0 \quad (2.6)$$

$$\bar{\nabla} \times \bar{E} = -j\omega \bar{B} \quad (2.7)$$

$$\bar{\nabla} \times \bar{H} = \bar{J} + j\omega \epsilon \bar{E} \quad (2.8)$$

onde

\bar{E} = vetor intensidade de campo elétrico em volts/metro

\bar{B} = vetor densidade de fluxo magnético em weber/m²

\bar{H} = vetor intensidade de campo magnético em amp/m

\bar{J} = vetor densidade de corrente em amp/m²

ϵ = constante dielétrica

ρ = densidade de carga em coulomb/m³

Não nos vamos deter em detalhes de como obter essas equações por considerarmos conhecidas e fora do escopo do presente trabalho.

2.1.1. Vetores Adicionais de Campo

Muitas vezes para transformar ou simplificar expressões precisamos de outros vetores relacionados com o campo e o meio que descrevemos a seguir.

Vetores que relacionam campos elétricos

$$\bar{D} = \epsilon \bar{E} \quad (2.9)$$

$$\bar{D} = \epsilon_0 \bar{E} + \bar{P} \quad (2.10)$$

$$\bar{P} = \epsilon_0 \chi_e \bar{E} \quad (2.11)$$

$$\bar{D} = \epsilon_r \epsilon_0 \bar{E} \quad (2.12)$$

$$\bar{J} = \sigma \bar{E} \quad (2.13)$$

$$\epsilon_r = \frac{\epsilon}{\epsilon_0} = 1 + \chi_e \quad (2.14)$$

onde

\bar{P} = vetor polarização

ϵ_0 = constante dielétrica do espaço livre

χ_e = susceptibilidade elétrica do meio

σ = condutividade

Vetores que relacionam campos magnéticos

$$\bar{B} = \mu \bar{H} \quad (2.15)$$

$$\bar{B} = \mu_0 (\bar{H} + \bar{M}) \quad (2.16)$$

$$\bar{M} = \chi_m \bar{H} \quad (2.17)$$

$$\bar{B} = \mu_r \mu_0 \bar{H} \quad (2.18)$$

$$\mu_r = \frac{\mu}{\mu_0} = 1 + \chi_m \quad (2.19)$$

onde

\bar{M} = vetor magnetização

μ = permeabilidade magnética

μ_0 = permeabilidade magnética do espaço livre

χ_m = susceptibilidade magnética do meio

Lembre-se que μ e ϵ são constantes para muitos materiais exceto nas seguintes condições:

- a) Meios anisotrópicos
- b) Coordenadas de parâmetros dependentes
- c) Meios não-lineares
- d) Parâmetros de material complexo

2.2. Resumo sobre Condições de Contorno entre dois Meios

Como já frisamos anteriormente, consideramos conhecidas as equações de Maxwell bem como a sua obtenção. Agora

consideramos também conhecido o mecanismo que leva às condições de contorno.

Observemos as figuras 2.1 e 2.2 abaixo e lembremos as tabelas que seguem.

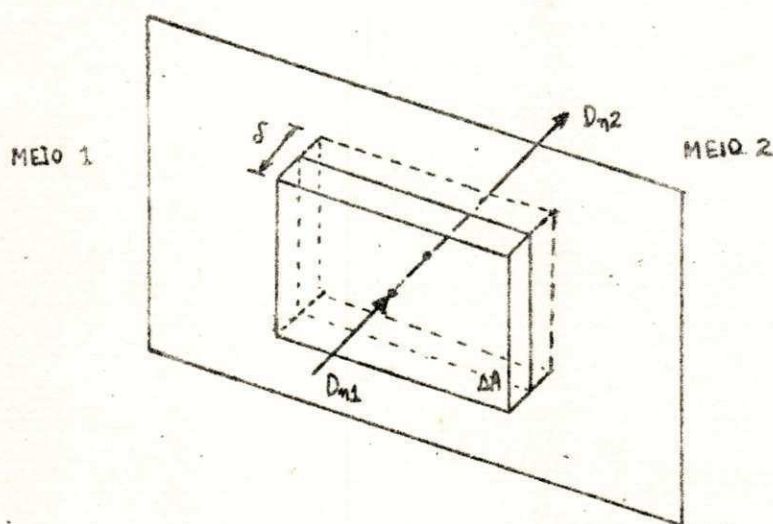


Fig. 2.1. Elemento de volume para o cálculo de fluxo normal numa "interface" entre dois meios.

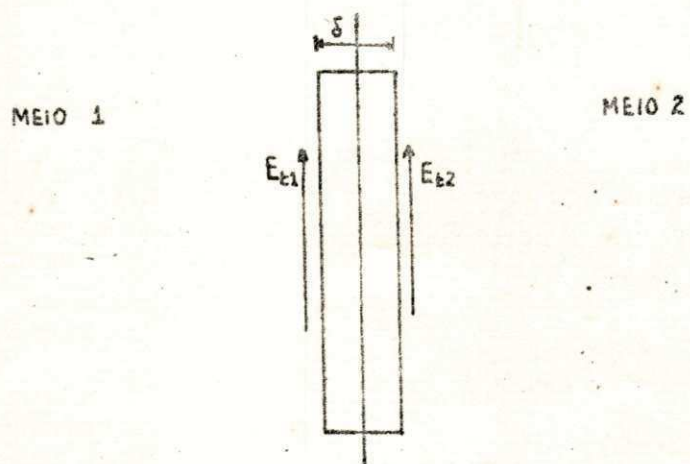


Fig. 2.2. Caminho de integração para componentes tangenciais do campo numa "interface" entre dois meios.

TABELA 2.1. Condições gerais de contorno nos campos de uma "interface" entre dois meios.

Componentes Normais

$$D_{n1} = D_{n2} - \sigma$$

$$\epsilon_1 E_{n1} = \epsilon_2 E_{n2} - \sigma$$

$$B_{n1} = B_{n2}$$

$$\mu_1 H_{n1} = \mu_2 H_{n2}$$

onde

$J_v \delta$ = componente normal de corrente de superfície para H tangencial.

δ = constante relacionada com a profundidade de penetração.

TABELA 2.2. Condições de contorno em campos variando com o tempo em uma superfície de um condutor ideal no vácuo.

Componentes Normais

$$D_n = \sigma$$

$$\epsilon_0 E_n = \sigma$$

$$B_n = 0$$

$$H_n = 0$$

Componentes Tangenciais

$$D_t = 0$$

$$E_t = 0$$

$$B_t = \mu_0 J_v \delta$$

$$H_t = J_v \delta$$

Entende-se por condutor ideal aquele que não permite a existência nem de campo elétrico nem de campo magnético variando no tempo. A tabela 2.2 vale para um condutor ideal no vácuo.

2.3. Vetor de Poynting

O vetor de Poynting, em qualquer ponto, nos dá o fluxo de potência por unidade de área naquele ponto. É definido como

$$\vec{S} = \vec{E} \times \vec{H} \quad (2.20)$$

ou, no caso de \vec{E} e \vec{H} serem complexos

$$S = \frac{1}{2} \vec{E} \times \vec{H}^* \quad (2.21)$$

A integral do vetor de Poynting sobre qualquer superfície fechada representa a variação de energia através da referida superfície. Esse conceito é muito importante, como veremos no cap. IV, para calcular a potência média de transmissão.

2.4. Equações de Onda em Coordenadas Cilíndricas

Como estamos interessados somente no estudo dos guias de onda de forma cilíndrica, apresentaremos a seguir, para o modo TE em coordenadas cilíndricas, as soluções das equações de Maxwell.

TABELA 2.3. Equações do campo para o modo TE em co
ordenadas cilíndricas.

$$E_r = - \frac{j\omega\mu}{k_c^2} \cdot \frac{1}{r} \cdot \frac{\partial H_z}{\partial \theta} \quad (2.22)$$

$$E_\theta = \frac{j\omega\mu}{k_c^2} \cdot \frac{\partial H_z}{\partial r} \quad (2.23)$$

$$H_r = \frac{k_z}{j\omega\mu} \cdot E_\theta \quad (2.24)$$

$$H_\theta = - \frac{k_z}{j\omega\mu} \cdot E_r \quad (2.25)$$

onde $k_z = \pm j\beta_z$

Sabemos que H_z é da forma

$$H_z = [AJ_n(k_c r) + BY_n(k_c r)](C \sin n\theta + D \cos n\theta) \cdot e^{\pm j\beta_z z} \quad (2.26)$$

como $Y_n(k_c r)$ é infinito em $r = 0$, portanto é uma solução im-
possível fisicamente. Assim fazemos $B = 0$. na equação 2.26.

Observe que

$$C \sin n\theta + D \cos n\theta = \sqrt{C^2 + D^2} \cos(n\theta + \Phi)$$

onde $\Phi = \arctg(C/D)$

Sem perda de generalidade podemos fazer $\Phi = 0$. Com
 $H = A \cdot C$ temos a equação 2.26 numa forma mais reduzida.

$$H_z = AJ_n(k_c r) \cdot \cos n\theta \cdot e^{\pm j\beta_z z} \quad (2.27)$$

k_c deve ser determinado a partir das condições de contorno.

2.4.1. Condições de Contorno

A componente de E_θ do campo elétrico é tangencial
na superfície interna do guia, portanto, em $r = a$, $E_\theta = 0$. Ob

servando a equação 2.26 vemos que $E_s = 0$ equivale a fazer

$$\left. \frac{\partial H_r}{\partial r} \right|_{r=a} = 0 \quad (2.28)$$

Então derivando 2.27 em relação a r e fazendo $r = a$, obtemos

$$J_n'(k_c a) = 0 \quad (2.29)$$

Essa equação tem infinitas raízes e portanto a solução geral é uma série de número infinito de termos.

Felizmente, na prática, os guias de onda trabalham com uma solução particular que caracteriza os modos do guia. Esses modos são escolhidos de acordo com a frequência desejada ou de acordo com o modo dominante. Entende-se por modo dominante aquele cuja solução da equação 2.29 dá o maior comprimento de onda.

O modo será designado TE_{nm} quando considerarmos a m -ésima raiz de 2.29 e a ordem n da função de Bessel com E_z nulo. n é o número de períodos da onda.

Como é evidente não haverá modo TE_{n0} , porque consideramos $r = 0$ como raiz de ordem zero e esta solução, como já vimos, não é possível fisicamente.(ver apêndice B)

Para o modo TM ($H_z = 0$), o procedimento é análogo e obtemos

$$J_n(k_c a) = 0 \quad (2.30)$$

e temos modos de maneira idêntica a anterior para os modos TE .

2.4.2. Comprimento de Onda de Corte e Frequência de Corte

Relacionados com a frequência de corte e a m-ésima raiz da equação 2.29 (modo TE) temos as seguintes relações úteis:

$$f_c = \frac{h_{nm}^1}{2\pi\sqrt{\mu\epsilon}} \quad (2.31)$$

$$\lambda_c = \frac{2\pi}{h_{nm}^1} \quad (2.32)$$

$$\omega_c = \frac{h_{nm}^1}{\sqrt{\mu\epsilon}} \quad (2.33)$$

onde h_{nm}^1 é a m-ésima raiz de 2.29 designado por

$$h_{nm}^1 = \frac{(k_c a)_{nm}}{a} \quad (2.34)$$

De modo análogo para o modo TM:

$$f_c = \frac{h_{nm}}{2\pi\sqrt{\mu\epsilon}} \quad (2.35)$$

$$\lambda_c = \frac{2\pi}{h_{nm}} \quad (2.36)$$

$$\omega_c = \frac{h_{nm}}{\sqrt{\mu\epsilon}} \quad (2.37)$$

onde h_{nm} é a m-ésima raiz de 2.30 designado por

$$h_{nm} = \frac{(k_c a)_{nm}}{a} \quad (2.38)$$

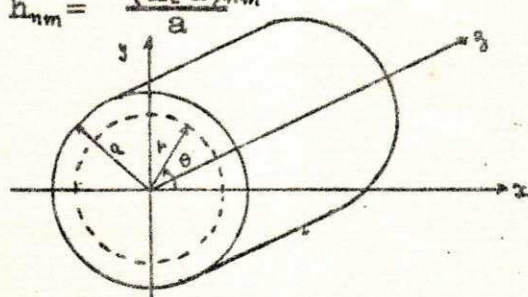


Fig. 2.1. Guia cilíndrico de raio $r = a$

2.5. Guias Coaxiais

Uma solução completa da equação de onda em coordenadas cilíndricas, para o modo TE, foi encontrada como sendo da forma (ver 2.26 e 2.27)

$$H_z = C [AJ_n(k_c r) + BY_n(k_c r)] \cos n\theta \cdot e^{\pm j\beta_3 z} \quad (2.39)$$

O termo $Y_n(k_c r)$ não pode ser despresado como no caso de guias cilíndricos porque a origem das coordenadas está excluída do domínio onde o campo existe, fig. 2.2.

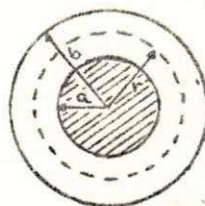


Fig. 2.2. Secção transversal de um guia coaxial

2.5.1. Condições de Contorno para o Modo TE

Sabemos que em $r = a$ e $r = b$, $E_r = 0$, implica em fazer respectivamente

$$\left. \frac{\partial H_z}{\partial r} \right|_{r=a} = 0, \quad \left. \frac{\partial H_z}{\partial r} \right|_{r=b} = 0 \quad (2.40)$$

Em 2.39, fazendo $C.A = H_1$ e $C.B = H_2$, temos

$$H_z = [H_1 J_n(k_c r) + H_2 Y_n(k_c r)] \cos n\theta \cdot e^{\pm j\beta_3 z} \quad (2.41)$$

Então em $r = a$ e $r = b$ a derivada da equação 2.41 nos fornece o seguinte sistema de equações homogêneas:

$$0 = H_1 J_n^i(k_c a) + H_2 Y_n^i(k_c a) \quad (2.42)$$

$$0 = H_1 J_n^i(k_c b) + H_2 Y_n^i(k_c b) \quad (2.43)$$

onde

$$J_n^i(k_c a) = \frac{\partial J_n(k_c r)}{\partial r} \Big|_{r=a}$$

$$Y_n^i(k_c a) = \frac{\partial Y_n(k_c r)}{\partial r} \Big|_{r=a}$$

De 2.42 e 2.43 obtemos respectivamente

$$H_1 J_n^i(k_c a) = -H_2 Y_n^i(k_c a) \quad (2.44)$$

$$H_1 J_n^i(k_c b) = -H_2 Y_n^i(k_c b) \quad (2.45)$$

ou resolvendo o determinante do sistema formado por 2.42 e 2.43 obtemos

$$\boxed{J_n^i(k_c a) Y_n^i(k_c b) - J_n^i(k_c b) Y_n^i(k_c a) = 0} \quad (2.46)$$

onde n corresponde à variação angular.

Como no caso da equação 2.30 ou 2.31 a equação 2.46 tem infinitas raízes. Cada raiz dará uma solução particular que define o modo de trabalho.

2.5.2. Comprimento de Onda de Corte e Frequência de Corte

De modo análogo à secção 2.4.2, relacionamos abaixo importantes expressões que envolvem as raízes de 2.46 com a frequência de corte, i.e.,

$$f_c = \frac{h_{nm}^{i_m}}{2\pi\sqrt{\mu\epsilon}} \quad (2.47)$$

$$\lambda_c = \frac{2\pi}{h_{nm}^{i_m}} \quad (2.48)$$

$$\omega_c = \frac{h_{nm}^1}{\sqrt{\mu\epsilon}} \quad (2.49)$$

onde h_{nm}^1 é a m-ésima raiz de 2.46.

2.6. Condições de Contorno para o Modo TM

De modo análogo à secção 2.5.1 obtemos para o modo TM

$$J_n(k_c a)Y_m(k_c b) - J_m(k_c b)Y_n(k_c a) = 0 \quad (2.50)$$

A frequência de corte e comprimento de onda de corte são definidos da mesma forma que na secção precedente.

- X - X -

CAPÍTULO III

ESTUDO SOBRE O GUIA LUNAR CONCÊNTRICO

3.1. Introdução

Podemos observar que o guia lunar concêntrico é semelhante ao guia coaxial, diferindo apenas na lâmina de material condutor que une o cilindro interno ao externo, fig.3.1. As equações obtidas no capítulo II para guias coaxiais são as mesmas para o guia em estudo, excetuando n que agora pode ser inteiro ou fracionário, como veremos mais adiante. Farímos, nas secções seguintes, a análise de diversas famílias de modos TE para estudar quais as vantagens e desvantagens sobre o guia coaxial comum.

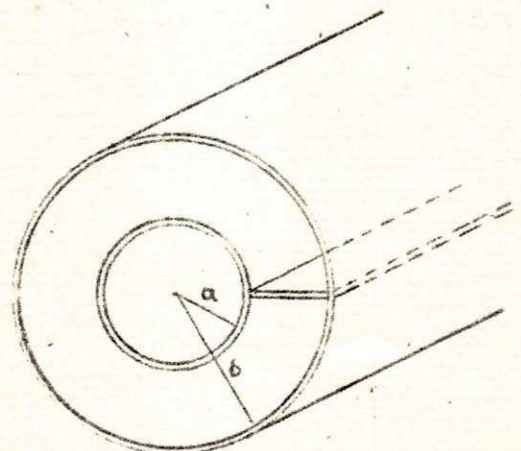


Fig. 3.1. Guia Lunar Concêntrico

3.2. Famílias de modo TE_{0m}

Observe que a lámina longitudinal (fig.3.01) colocada ao longo do guia não modifica as condições de contorno para E, apenas introduz uma condição de contorno para E_r=0. Portanto a equação 2.46 também é válida para o guia lunar concêntrico. Como J₀'(x) = -J₁(x) e Y₀'(x) = -Y₁(x), a equação 2.46, fazendo n = 0, pode ser escrita na forma

$$J_1(k_c a)Y_1(k_c b) - J_1(k_c b)Y_1(k_c a) = 0 \quad (3.01)$$

A equação 3.01 foi resolvida em computador digital (veja apêndice D) cujos resultados transcrevemos na tabela a baixo.

TABELA 3.1. Comprimentos de onda de corte para os modos TE_{0m}, com m=1, 2, 3, 4, na equação 3.01.

M O D O T E _{0m}		
m	Raízes da equação (h _{0m})	Comp.de onda de corte (λ_c)
1	218,4069	0,02877 m
2	433,1274	0,01451 m
3	648,6206	0,00967 m
4	864,3212	0,00727 m

A equação 3.01 tem uma curva gráfica representada na figura 3.2. Pode-se observar que o modo dominante dessa família de modos será o modo TE₀₁ (veja a eq. 2.48).

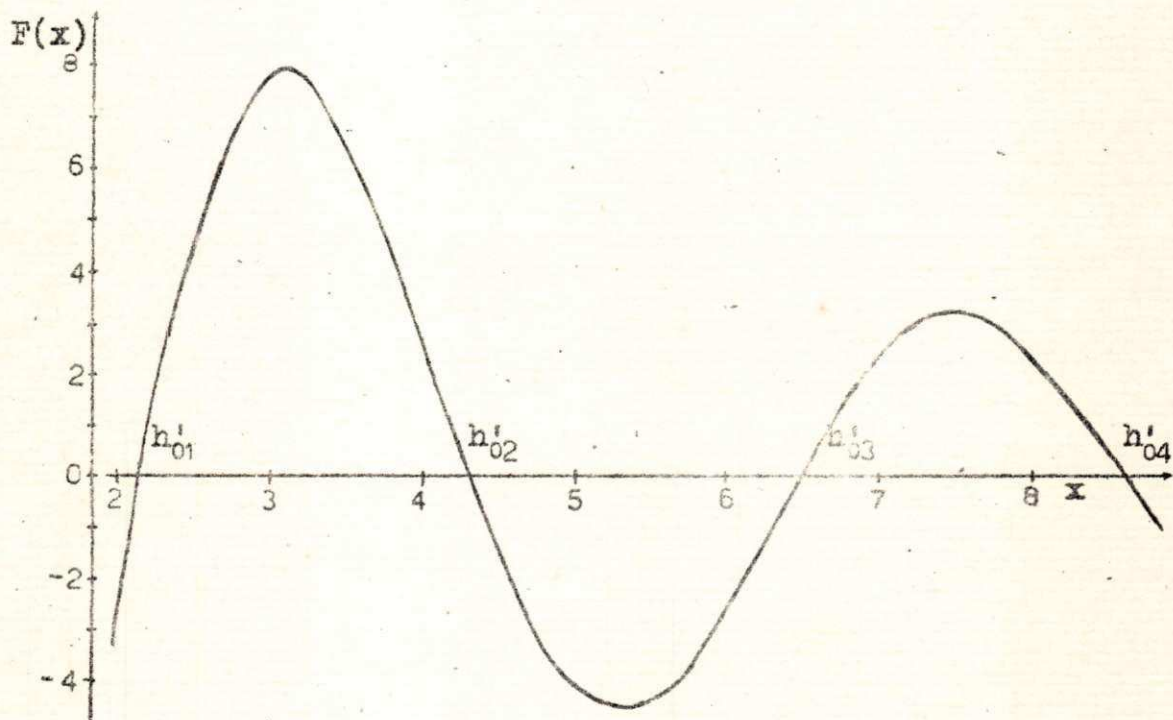


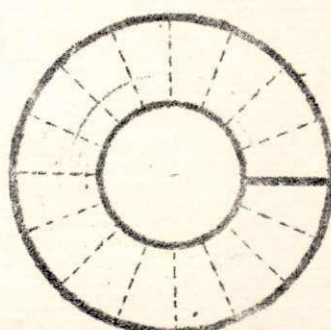
Fig. 3.2. Gráfico de $F(x)=J_1(ax)Y_1(bx)-J_1(bx)Y_1(ax)$, com $a \approx 0,01945$ m e $b = 0,0340$ m.

É fácil ver que a configuração das linhas de campo elétrico e magnético no guia lunar concêntrico, neste caso, é idêntica àquela para o guia coaxial, fig. 3.3. Observe que obedece à condição de contorno de que $E_r = 0$ nas paredes da lámina condutora. Isso implica em $\partial H_z / \partial \theta = 0$, i.e.,

$$E_r(\theta) = k \operatorname{sen} n\theta$$

onde $\theta = 0, 2\pi, 4\pi, \dots$

Fig. 3.3. Linhas de campo elétrico e magnético, modo TE_{0m} , dos guias lunares concêntricos.



3.3. Famílias de modo TE_{1m}

De modo análogo para o modo TE_{0m} temos fazendo $n=1$ na equação 2.46 obtemos

$$J_1'(k_c a)Y_1'(k_c b) - J_1'(k_c b)Y_1'(k_c a) = 0 \quad (3.02)$$

Através do computador digital resolvemos a equação acima e obtemos os seguintes resultados que tabelamos abaixo. (veja apêndice D)

TABELA 3.2. Comprimentos de onda de corte para os modos TE_{1m} , com $m=1, 2, 3, 4$, na equação 3.02.

M O D O T E		
m	Raízes da equação (h_{1m}^*)	Comp.de onda de corte(λ_c)
1	37,8399	0,16605 m
2	222,0988	0,02829 m
3	434,9077	0,01445 m
4	649,7978	0,00967 m

A seguir apresentamos um gráfico da equação 3.02 obtido por meio de computador digital. Podemos observar que a curva da fig. 3.2 é semelhante a da fig. 3.4 e são também semelhantes às curvas das funções de Bessel de 2a. espécie. Sendo assim o modo dominante estará mais uma vez na primeira raiz da equação 3.02.

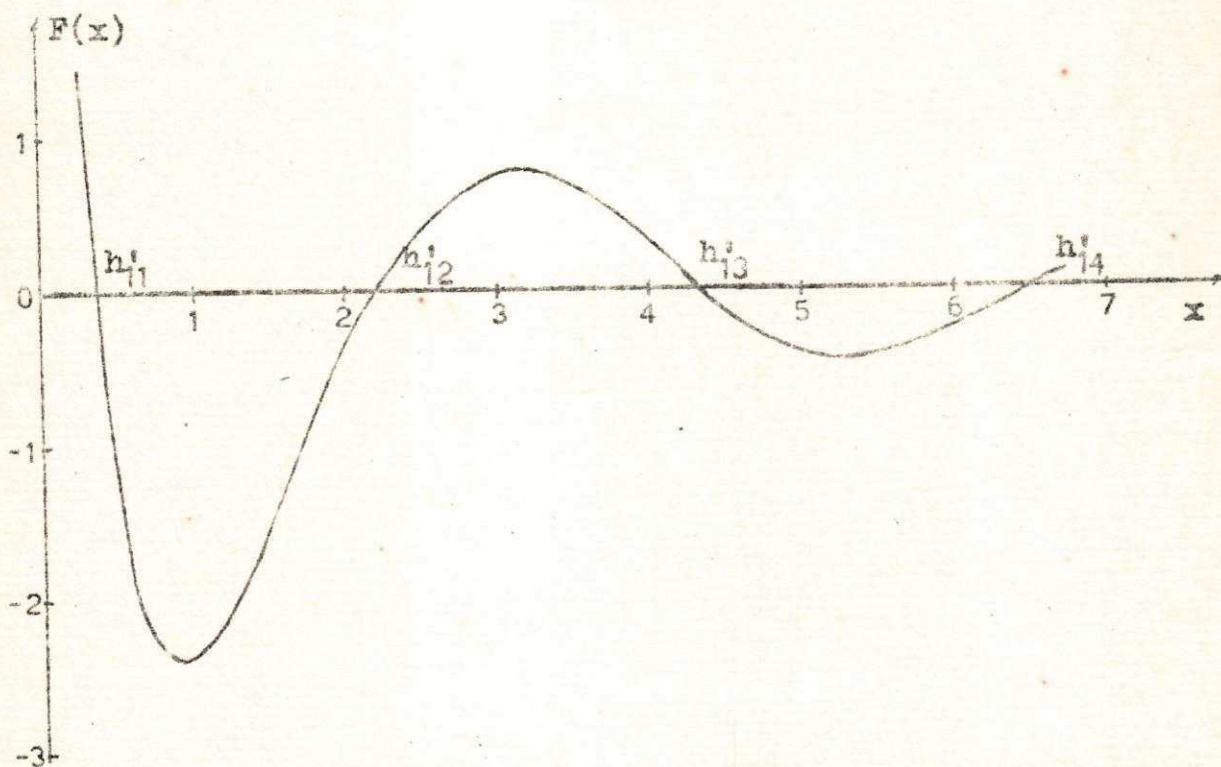
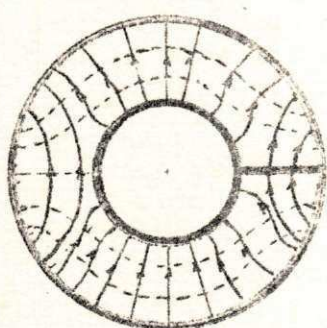
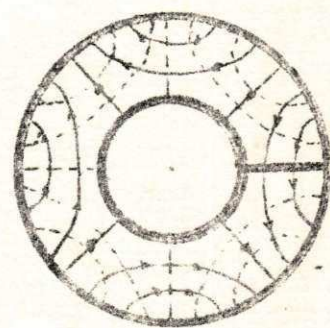


Fig. 3.4. Gráfico de $F(x) = J_1'(ax)Y_1'(bx) - J_1'(bx)Y_1'(ax)$
com $a = 0,01945 \text{ m}$ e $b = 0,0340 \text{ m}$.

De novo para esse modo a configuração das linhas de campo elétrico e magnético é idêntica à do guia coaxial.
Fig. 3.5 abaixo.



a) Modo TE_{11}



b) Modo TE_{12}

Fig. 3.5. Linhas de campo elétrico e magnético, modo TE_{11} e TE_{12} .

3.4. Famílias de modo $TE_{1/2m}$

Até agora os resultados obtidos para o guia lunar concêntrico foram os mesmos obtidos para guias coaxiais. No entanto, devido à colocação da lâmina de material condutor que une o condutor central ao condutor externo, o campo E_r deve obedecer a condição de contorno de que E_r deve ser nulo sobre e sob a lâmina. Isso só é possível para n inteiro, para $n = 1/2$ e seus múltiplos. (consideramos a lâmina colocada sobre o semi-eixo positivo dos x). Como veremos mais adiante, eq. 3.9, E em relação a θ será

$$E(\theta) = K \sin n\theta$$

onde, na lâmina, $\theta = 0, 2\pi, 4\pi, \dots, 2k\pi$

É evidente que $E(\theta)$ só poderá ser nulo se $n = 0, 1/2, 1, 3/2, 2, \dots$

Portanto

$$E_r(\theta) = K \sin n\theta$$

É fácil verificar que para qualquer outro valor de n que não seja os acima não há possibilidade de outros modos. Fazendo $n = 1/2$ na equação 2.46 obtemos

$$J_{1/2}^1(k_c a) Y_{1/2}^1(k_c b) - J_{1/2}^1(k_c b) Y_{1/2}^1(k_c a) = 0 \quad (3.03)$$

Resolvendo a equação acima por meio de computador obtemos os seguintes resultados que vão tabelados a seguir.

TABELA 3.3. Comprimentos de onda de corte para os modos $TE_{1/2m}$ com $m = 1, 2, 3, 4$, na equação (3.03).

MODO $TE_{1/2m}$		
m	Raízes da equação ($h_{1/2}^m$)	Comp. de onda de corte (λ_c)
1	18,9420	0,33170 m
2	219,3349	0,02865 m
3	433,5732	0,01449 m
4	648,9150	0,00968 m

Na figura 3.6 a seguir vemos mais uma vez que a curva é de mesmo tipo das anteriores obtidas nas figuras 3.2, 3.4, assim o modo dominante estará na primeira raiz.

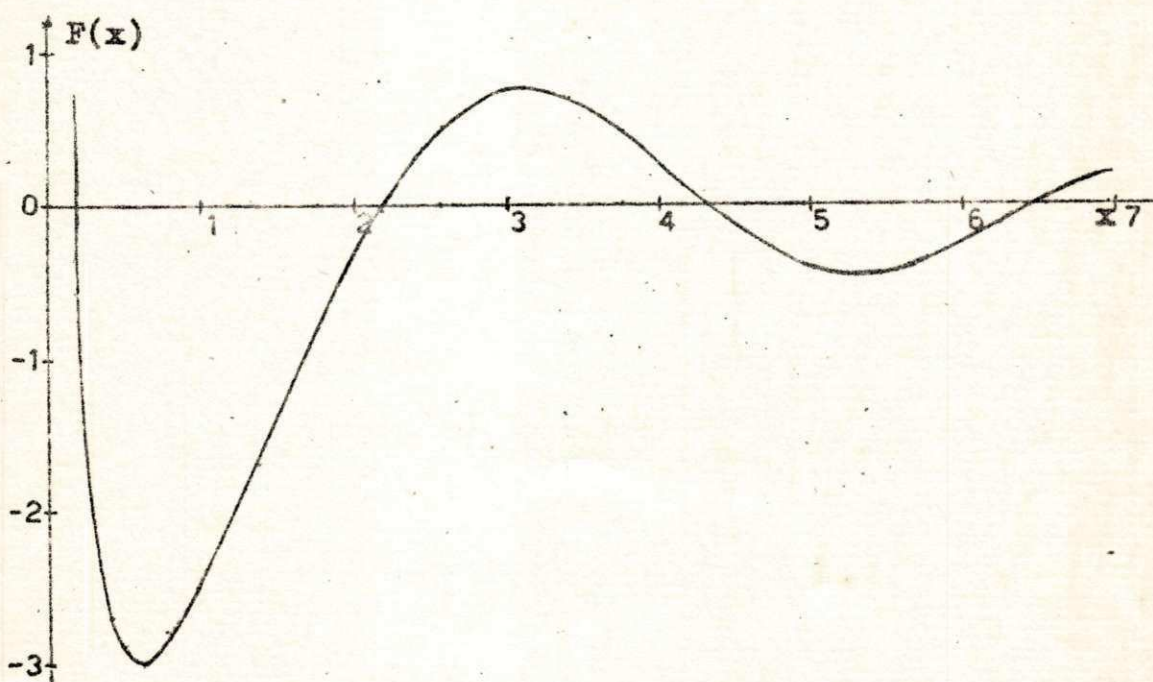


Fig. 3.6. Gráfico de $F(x) = J_{1/2}'(ax)Y_{1/2}'(bx) - J_{1/2}'(bx)Y_{1/2}'(ax)$ com $a = 0,01945$ m e $b = 0,0340$ m.

A configuração de campo é semelhante a do modo TE₀₁, porém E tem fase oposta na parte superior e inferior da lâmina.

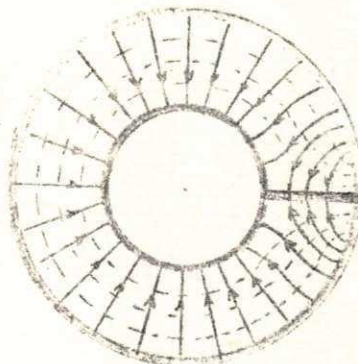


Fig. 3.7. Linhas de campo elétrico e magnético para o modo TE_{1/21}

3.5. Sumário dos modos TE_{0m}, TM_m, TE_{1/2m}:

Das tabelas 3.1, 3.2 e 3.3 obtemos a tabela abaixo a fim de melhor analisar o assunto.

TABELA 3.4. Resultados obtidos para os modos TE_{0m}, TE_{1m}, e TE_{1/2m} relacionados com o comprimento de onda de corte.

m	TE _{0m} (λ_c em m)	TE _{1m} (λ_c em m)	TE _{1/2m} (λ_c em m)
1	0,0288	0,3317	0,1660
2	0,0145	0,0286	0,0283
3	0,0097	0,0145	0,0144
4	0,0072	0,0094	0,0097

Da análise dos resultados acima conclímos que

- a) O modo dominante é o modo TE_{1/21}
- b) A faixa de passagem está entre 0,90381 GHz e 1,8071GHz,

c) Os modos a partir de $n = 1/2$ e $m \geq 2$ são praticamente iguais.

Observe que a frequência de corte calculada aqui foi baseada na relação abaixo

$$f_c = \frac{c}{\lambda_c}$$

onde c é a velocidade da luz, $c = 2.998 \times 10^8$ m/s

3.6. Expressões dos campos do Modo $TE_{n,m}$

Reproduzimos aqui a equação 2.41

$$H_z = [H_1 J_n(k_c r) + H_2 Y_n(k_c r)] \cos n\theta \cdot e^{\pm j\beta_z z} \quad (3.04)$$

onde k_c e H_2 serão obtidos a partir do conhecimento das condições de contorno e da potência de transmissão, respectivamente. Já vimos como calcular k_c a partir da eq. 2.46.

De 2.44 e 2.45 obtemos respectivamente

$$H_1 = -H_2 \frac{Y_n'(k_c a)}{J_n'(k_c a)} \quad (3.05)$$

$$H_1 = -H_2 \frac{Y_n'(k_c b)}{J_n'(k_c b)} \quad (3.06)$$

Observe que as expressões 3.05 e 3.06 são equivalentes em $k_c = h_{nm}'$ (h_{nm}' é m-ésima raiz de 2.46)

Derivando a equação 3.04 em relação a r obtemos

$$\frac{\partial H_z}{\partial r} = k_c [H_1 J_n'(k_c r) + H_2 Y_n'(k_c r)] \cos n\theta \cdot e^{\pm j\beta_z z} \quad (3.07)$$

Derivando agora 3.04 em relação a θ obtemos

$$\frac{\partial H_z}{\partial \theta} = -n [H_1 J_n(k_c r) + H_2 Y_n(k_c r)] \sin n\theta \cdot e^{\pm j\beta_z z} \quad (3.08)$$

Substituindo convenientemente 3.05 (ou 3.06) em 3.07 e 3.08 e em seguida substituindo na tabela 2.3 obtemos a seguinte tabela de equações dos campos no modo TE_{nm} .

TABELA 3.5: Expressões dos campos do modo TE_{nm}

$$E_r = \frac{j\omega \mu n H_2}{(h_{nm}^1)^2} \cdot \frac{1}{r} [Y_n(h_{nm}^1 r) - \frac{Y_n'(h_{nm}^1 a)}{J_n'(h_{nm}^1 a)} \cdot J_n(h_{nm}^1 r)] \sin n\theta \cdot e^{\pm j\beta_z z} \quad (3.09)$$

$$E_\theta = \frac{j\omega \mu H_2}{(h_{nm}^1)^2} [Y_n(h_{nm}^1 r) - \frac{Y_n'(h_{nm}^1 a)}{J_n'(h_{nm}^1 a)} \cdot J_n(h_{nm}^1 r)] \cos n\theta \cdot e^{\pm j\beta_z z} \quad (3.10)$$

$$H_r = \frac{k_e}{j\omega \mu} \cdot E_\theta \quad (3.11)$$

$$H_\theta = - \frac{k_e}{j\omega \mu} \cdot E_r \quad (3.12)$$

onde $k_z = \pm j\beta_z$

3.7. Expressões de campo para o modo TE_{11}

Como o modo TE_{11} é o modo dominante o nosso estudo será concentrado somente nele. Portanto de agora em diante só estudaremos o caso particular para $n=1/2$ e $m=1$. Para simplificar a notação faremos $h_{11}^1 = p$ e consideraremos a onda incidente na direção z. O termo $e^{\pm j\beta_z z}$ é responsável pela propagação. Consideraremos que essa propagação existe e omitiremos nas expressões de campo, ficando subentendido a sua existência.

Assim obtemos a seguinte tabela para expressões do modo dominante.

TABELA 3.6. Expressões para o modo TE_{1/2,1}

$$E_r = \frac{j\omega\mu H_2}{2p^2} \cdot \frac{1}{r} \cdot F(r) \cdot \sin \frac{\theta}{2} \quad (3.13)$$

$$E_\theta = \frac{j\omega\mu H_2}{p} \cdot G(r) \cdot \cos \frac{\theta}{2} \quad (3.14)$$

$$H_r = -\frac{S_0}{\omega\mu} \cdot E_r \quad (3.15)$$

$$H_\theta = \frac{S_0}{\omega\mu} \cdot E_\theta \quad (3.16)$$

$$H_z = H_2 \cdot F(r) \cdot \cos \frac{\theta}{2} \quad (3.17)$$

onde

$$F(r) = Y_{1/2}(pr) = \frac{Y_{1/2}(pa)}{J_{1/2}(pa)} \cdot J_{1/2}(pr) \quad (3.18)$$

$$G(r) = Y_{1/2}'(pr) = \frac{Y_{1/2}'(pa)}{J_{1/2}'(pa)} \cdot J_{1/2}'(pr) \quad (3.19)$$

$$S_0 = \sqrt{\omega^2 \mu_0 \epsilon - p^2} \quad (3.20)$$

3.8. Variação do Campo dentro do Guia

Estamos interessados em saber como varia o campo dentro do guia com relação a r. Assim podemos escrever, fixando a frequência e o ângulo θ .

$$E_r(r) = F(r)/r \quad (3.21)$$

$$E_\theta(r) = G(r) \quad (3.22)$$

$$H_z(r) = F(r) \quad (3.23)$$

$$H_r(r) = G(r) \quad (3.24)$$

$$H_e(r) = F(r)/r \quad (3.25)$$

onde $F(r)$ e $G(r)$ são dados respectivamente por 3.18 e 3.19.

Com o uso de computador digital (veja programas no apêndice E) obtivemos as tabelas que seguem onde fizemos r variar dentro do guia entre os valores de a e b .

TABELA 3.7. Tabela de valores para E_r e H_e normalizados em $r = a$.

r (em metros)	$E_{r0}(r)$	r (em metros)	$E_{T0}(r)$
0,01945	1,0000	0,02672	0,7307
0,02018	0,9640	0,02745	0,7117
0,02090	0,9306	0,02816	0,6937
0,02163	0,8996	0,02891	0,6765
0,02236	0,8707	0,02963	0,6602
0,02309	0,8436	0,03036	0,6446
0,02381	0,8183	0,03109	0,6297
0,02454	0,7944	0,03182	0,6155
0,02527	0,7720	0,03254	0,6018
0,02600	0,7509	0,03327	0,5887
0,02672	0,7307	0,03400	0,5761

Observe que fizemos

$$E_{r0}(r) = \frac{E_r(r)}{E_r(a)} = \frac{H_e(r)}{H_e(a)}$$

Com os resultados da tabela 3.7 obtivemos o seguinte gráfico.

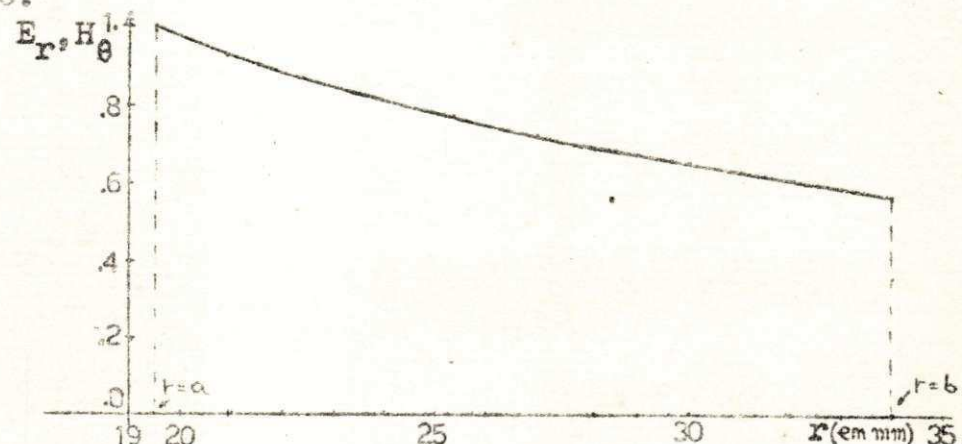


Fig. 3.8. Gráfico de $E_{r0}(r)$ contra r . (E_r e H_r)

TABELA 3.8. Tabela de valores para E_e e H_r , normalizados em $r = 0,025$ m

r (em metros)	$E_{e0}(r)$	r (em metros)	$E_{ec}(r)$
0,01945	0,0008	0,02672	0,9696
0,02018	0,2689	0,02745	0,9263
0,02090	0,4851	0,02818	0,8677
0,02163	0,6561	0,02891	0,7952
0,02236	0,7874	0,02963	0,7103
0,02309	0,8839	0,03036	0,6143
0,02381	0,9497	0,03109	0,5081
0,02454	0,9883	0,03182	0,3928
0,02527	1,0027	0,03254	0,2693
0,02600	0,9958	0,03327	0,1383
0,02672	0,9696	0,03400	0,0005

Observe que fizemos

$$E_{e0} = \frac{E_e(r)}{E_e(0,025)} = \frac{H_r(r)}{H_r(0,025)}$$

Com os resultados obtidos na tabela 3.8 construimos a seguinte curva gráfica.

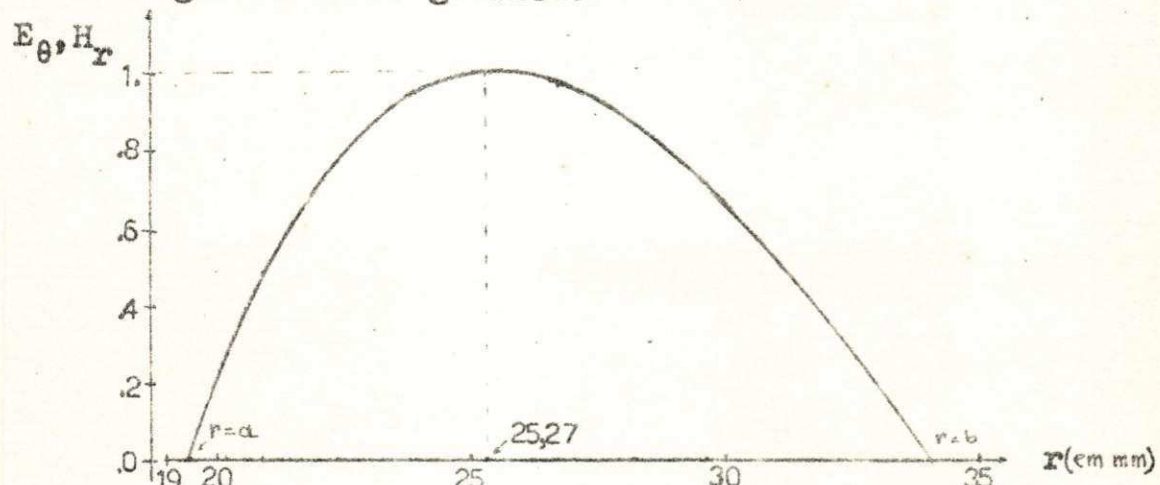


Fig. 3.9. Gráfico de E_θ contra r . (E_θ e H_r)

TABELA 3.9. Valores de H_z normalizado em $r=a$, variando com r .

r (em metro)	$H_z(r)$	r (em metro)	$H_z(r)$
0,01945	1,0000	0,02672	1,0041
0,02018	1,0000	0,02745	1,0046
0,02090	1,0003	0,02818	1,0050
0,02163	1,0006	0,02891	1,0055
0,02236	1,0010	0,02964	1,0060
0,02309	1,0014	0,03036	1,0063
0,02381	1,0019	0,03109	1,0066
0,02454	1,0024	0,03182	1,0068
0,02527	1,0027	0,03254	1,0070
0,02600	1,0035	0,03327	1,0071
0,02672	1,0041	0,03400	1,0071

Observe que fizemos

$$H_{z0} = \frac{H_z(r)}{H_z(a)}$$

Com os valores da tabela 3.9. traçamos o seguinte gráfico.

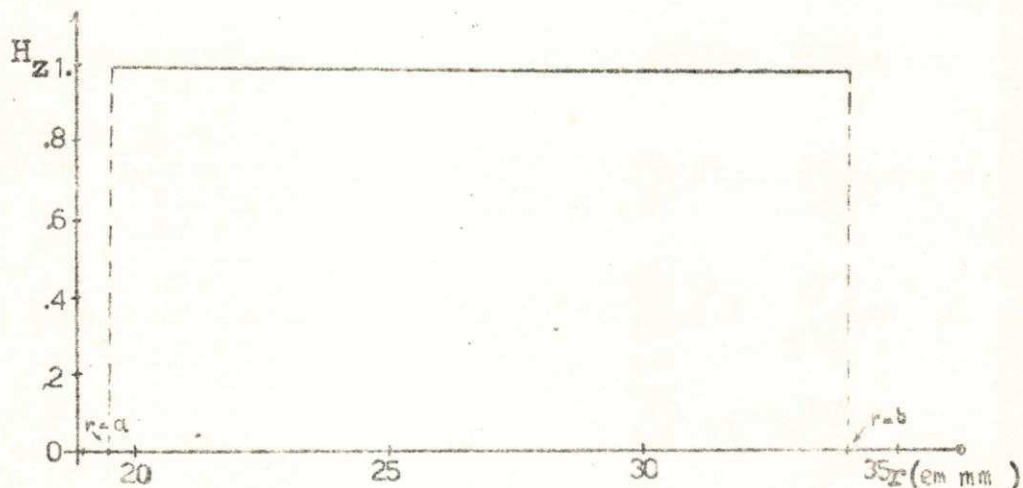


Fig. 3.10. Gráfico de H_{z0} contra r . (H_z)

Analizando os resultados precedentes concluimos que

- 1) A componente longitudinal de H_z é praticamente constante com a variação de r .
- 2) E_p e H_e atenuam cerca de 43% de $r=a$ até $r=b$.
- 3) E_p e H_e apresentam valores máximos em $r=a$ e mínimos em $r = b$.
- 4) E_p e H_e tem valores mínimos em $r = a$ e $r=b$, i.e., estão de acordo com as condições de contorno. Têm valores máximos em aproximadamente $r = 0,02527$ m.

CAPÍTULO IV

POTÊNCIA DE TRANSMISSÃO

4.1. Potência Média de Transmissão

Em coordenadas cilíndricas o fluxo de energia através da superfície transversal do guia é dado por

$$S = \frac{1}{2}(E_\theta \cdot H_r^* - E_r \cdot H_\theta^*) \quad (4.1)$$

Nesse caso a capacidade de potência média do guia será

$$P_o = \int_a^b \int_0^{2\pi} S \cdot da \quad (4.2)$$

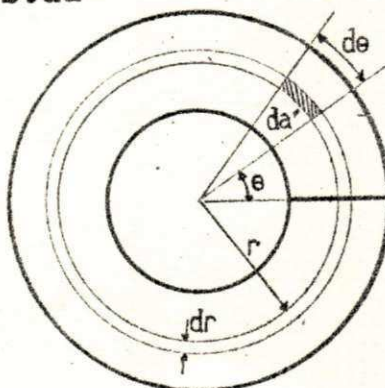


Fig. 4.1. Elemento de área numa secção transversal de um guia lunar concêntrico.

É fácil verificar (fig. 4.1) que

$$da = r \cdot dr \cdot d\theta \quad (4.3)$$

Substituindo as eqs. 4.3 e 4.1 em 4.2 obtemos

$$P_0 = \frac{1}{2} \int_a^b \int_0^{2\pi} (E_r \cdot H_r^* - E_\theta \cdot H_\theta^*) r \cdot dr \cdot d\theta \quad (4.4)$$

As expressões entre os parênteses de 4.4 são dadas respectivamente por (sec. 3.7) ..

$$E_r \cdot H_r^* = - \frac{\omega \mu H_2^2 \beta_g}{4p^4} \cdot \frac{F^2(r)}{r^2} \cdot \sin^2 \frac{\theta}{2} \quad (4.5)$$

$$E_\theta \cdot H_\theta^* = \frac{\omega \mu H_2^2 \beta_g}{p^2} \cdot G^2(r) \cdot \cos^2 \frac{\theta}{2} \quad (4.6)$$

como

$$\int_0^{2\pi} \sin^2 \frac{\theta}{2} d\theta = \int_0^{2\pi} \cos^2 \frac{\theta}{2} d\theta = \pi$$

temos

$$P = A \int_a^b \frac{F^2(r)}{r} dr + B \int_a^b r \cdot G^2(r) dr \quad (4.7)$$

onde

$$A = \frac{1}{2} \frac{\beta_g \omega \mu \pi H_2^2}{4p^4} = \frac{\beta_g f \mu \pi H_2^2}{4p^4} \quad (4.8)$$

$$B = \frac{1}{2} \frac{\beta_g \omega \mu \pi H_2^2}{p^2} = 4Ap^2 \quad (4.9)$$

$$f = \frac{\omega}{2\pi}$$

Assim a constante de propagação obtida na sec. 3.7 se torna

$$\beta_g = \sqrt{4\pi^2 f^2 \mu_0 \epsilon - p^2} \quad (4.10)$$

Antes de integrarmos a eq. 4.7 façamos algumas considerações preliminares. $F(r)$ e $G(r)$ podem ser escritos respectivamente

$$F(r) = Y_{1/2}(pr) - C J_{1/2}(pr) \quad (4.11)$$

$$G(r) = Y'_{1/2}(pr) - C J'_{1/2}(pr) \quad (4.12)$$

onde

$$C = \frac{Y'_{1/2}(\text{pa})}{J'_{1/2}(\text{pa})} \quad (4.13)$$

Elevando as eqs 4.11 e 4.12 ao quadrado temos

$$F^2(r) = Y_{1/2}^2(pr) + C^2 J_{1/2}^2(pr) - 2C J_{1/2}(pr) Y_{1/2}(pr) \quad (4.14)$$

$$G^2(r) = Y'_{1/2}^2(pr) + C^2 J'_{1/2}^2(pr) - 2C J'_{1/2}(pr) Y'_{1/2}(pr) \quad (4.15)$$

Assim, em termos de seno e cosseno, as integrais da eq. 4.7 podem ser escritas respectivamente como (ver apêndice A)

$$A \int \frac{F^2(r) dr}{r} = \frac{2A}{\pi p} \int \left[\frac{\cos^2 pr}{r^2} + C^2 \frac{\sin^2 pr}{r^2} + 2C \frac{\sin pr \cdot \cos pr}{r^2} \right] dr \quad (4.16)$$

$$\begin{aligned} B \int r G^2(r) dr &= \frac{2B}{\pi p} \int \left[\sin^2 pr + \frac{1}{4p^2} \frac{\cos^2 pr}{r^2} + \left(\frac{1-C^2}{p} \right) \frac{\sin pr \cdot \cos pr}{r} + \right. \\ &+ C^2 \cos^2 pr + \frac{C^2}{4p^2} \frac{\sin^2 pr}{r^2} - 2C \cdot \sin pr \cdot \cos pr + \frac{C}{p} \cdot \frac{\sin^2 pr}{r} - \\ &\left. - \frac{C}{p} \cdot \frac{\cos^2 pr}{r} + \frac{C}{2p^2} \cdot \frac{\sin pr \cdot \cos pr}{r^2} \right] \end{aligned} \quad (4.17)$$

Integrando termo a termo de 4.16 e 4.17 obtemos, somando essas equações, a expressão exata para a potência de transmis-

são. Cada uma das integrais acima se encontra no apêndice A3. No cálculo da integral 4.7 utilizamos o programa nº 17 (apêndice I).

4.2. Potência Máxima de Pico de Transmissão

No cálculo da potência máxima de transmissão devemos antes calcular a constante $H_0 = H_2 \cdot f$. Este cálculo será feito levando em conta a potência máxima que poderá ser transmitida antes da ruptura do campo elétrico. Como a potência transmitida é proporcional ao quadrado do campo elétrico vamos determinar o máximo campo elétrico transversal.

O Campo elétrico transversal será

$$E_t^2 = E_r^2 + E_\theta^2$$

ou (ver tabela 3.6)

$$E_t = \sqrt{\left[\frac{j\omega\mu H_2}{2p^2} \cdot \frac{F(r)}{r} \cdot \sin\frac{\theta}{2}\right]^2 + \left[\frac{j\omega\mu H_2}{p} \cdot G(r) \cdot \cos\frac{\theta}{2}\right]^2} \quad (4.18)$$

Vamos calcular o máximo do radicando da expressão acima e chamá-lo de E , assim

$$E = \sqrt{\left[\frac{\omega^2 \mu^2 H_2^2}{4p^4} \cdot \frac{F^2(r)}{r^2} \cdot \sin^2\frac{\theta}{2} + \frac{\omega^2 \mu^2 H_2^2}{p^2} \cdot G^2(r) \cdot \cos^2\frac{\theta}{2}\right]} \quad (4.19)$$

como

$$\sin^2\frac{\theta}{2} = \frac{1}{2}(1-\cos\theta) \quad \text{e} \quad \cos^2\frac{\theta}{2} = \frac{1}{2}(1+\cos\theta)$$

temos

$$E = \frac{\omega^2 \mu^2 H_2^2}{8p^4} \left\{ \left[\frac{F^2(r)}{r^2} + 4p^2 G^2(r) \right] + \left[\frac{F^2(r)}{r^2} - 4p^2 G^2(r) \right] \cos\theta \right\} \quad (4.20)$$

$$\frac{\partial E}{\partial \theta} = -\frac{\omega^2 \mu^2 H_0^2}{8p^4} \left[\frac{F^2(r)}{r^2} - 4p^2 G^2(r) \right] \sin \theta = 0 \quad (4.21)$$

Portanto temos

$$\sin \theta = 0 \quad \text{para } \theta = 0, \pi, 2\pi, 3\pi, \dots$$

Por outro lado sabemos que para valores pares de θ , i.e., para $\theta = 0, 2\pi, 4\pi, \dots$, o campo elétrico é nulo em virtude de ser tangencial à lámina que une os condutores externo e interno, fig. 4.2. Consideramos o início dos θ sobre a lámina no sentido antihorário. Assim os valores aceitáveis

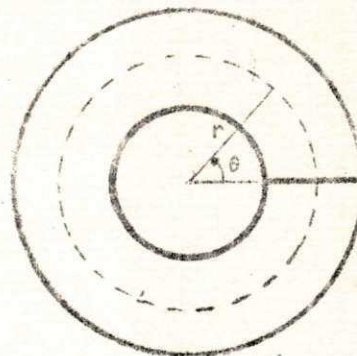


Fig. 4.2. Guia lunar mostrando a variação de θ .

para solução da eq. 4.21, onde eq. 4.20 será máximo, são

$$\theta = \pi, 3\pi, \dots$$

Observe que não fizemos a análise do máximo e mínimo de 4.20 porque não sabemos se a expressão entre colchetes é maior ou menor que zero.

Tomemos para nosso estudo o valor principal de θ .

Fazendo $\theta = \pi$ na equação 3.13 temos que o valor máximo do campo em relação a θ será dado por

$$|E_r| = \left| \frac{\omega \mu H_2 \cdot F(r)}{2p^2} \right| \quad (4.22)$$

Enquanto que para a eq. 3.14 temos

$$|E_\theta| = \left| \frac{\omega \mu H_2}{p} \cdot G(r) \cdot 0 \right| = 0 \quad (4.23)$$

Assim

$$E_t = E_r = \left| \frac{\omega \mu H_2 \cdot F(r)}{2p^2} \right| \quad (4.24)$$

Já vimos (ver gráfico da fig. 3.8) que o máximo do campo elétrico radial ocorre em $r = a$, portanto

$$E_{r\text{MÁX}} = \frac{\omega \mu H_2}{2ap^2} \cdot F(a) \quad (4.25)$$

Como o material existente entre os condutores é o ar consideramos aqui $\mu = \mu_0$.

Da física sabemos que o máximo campo ocorre quando

$$E_{\text{MAX}} = 3 \cdot 10^6 \text{ volts/metro}$$

Então

$$H_2 = \frac{3 \cdot 10^6 \cdot 2ap^2}{\omega \mu_0 F(a)} \quad (4.26)$$

ou considerando $\omega = 2\pi f$ e $H = H/f$

$$H_0 = \frac{3 \cdot 10^6 \cdot ap^2}{\pi \mu_0 F(a)} \quad (4.27)$$

O valor numérico de H_0 é

$$H_0 \approx -1,79 \cdot 10^{12}$$

Esse valor de H_0 limita a potência máxima admissível no guia, que no caso em estudo é aproximadamente 7 Megawatt (Fig.4.3) Agora podemos re-escrever 4.8 e 4.9 para o caso particular da potência máxima de transmissão.

$$A = \frac{2,25 \cdot 10^{12} S_0 p^2 a^2}{f \mu_0 F^2(a)} \quad (4.28)$$

$$B = 4Ap^2 \quad (4.29)$$

Com auxílio de computador digital (ver prog.17, apêndice E) calculamos a potência de pico máxima de transmissão. Segue tabela dos resultados obtidos.

TABELA 4.1. Potência máxima de transmissão

Freq. em GHz	Pot. em MW	Freq. em GHz	Pot. em MW
0,904	0,000	1,446	6,236
0,994	3,328	1,536	6,461
1,084	4,416	1,627	6,643
1,175	5,105	1,717	6,793
1,265	5,591	1,808	6,919
1,356	5,955	1,898	7,025

Em seguida traçamos um gráfico da potência máxima contra a frequência onde observamos que a potência máxima tende assintoticamente para 8 MW e que, para o modo em estudo, é cerca de 7 MW. (Fig. 4.3)

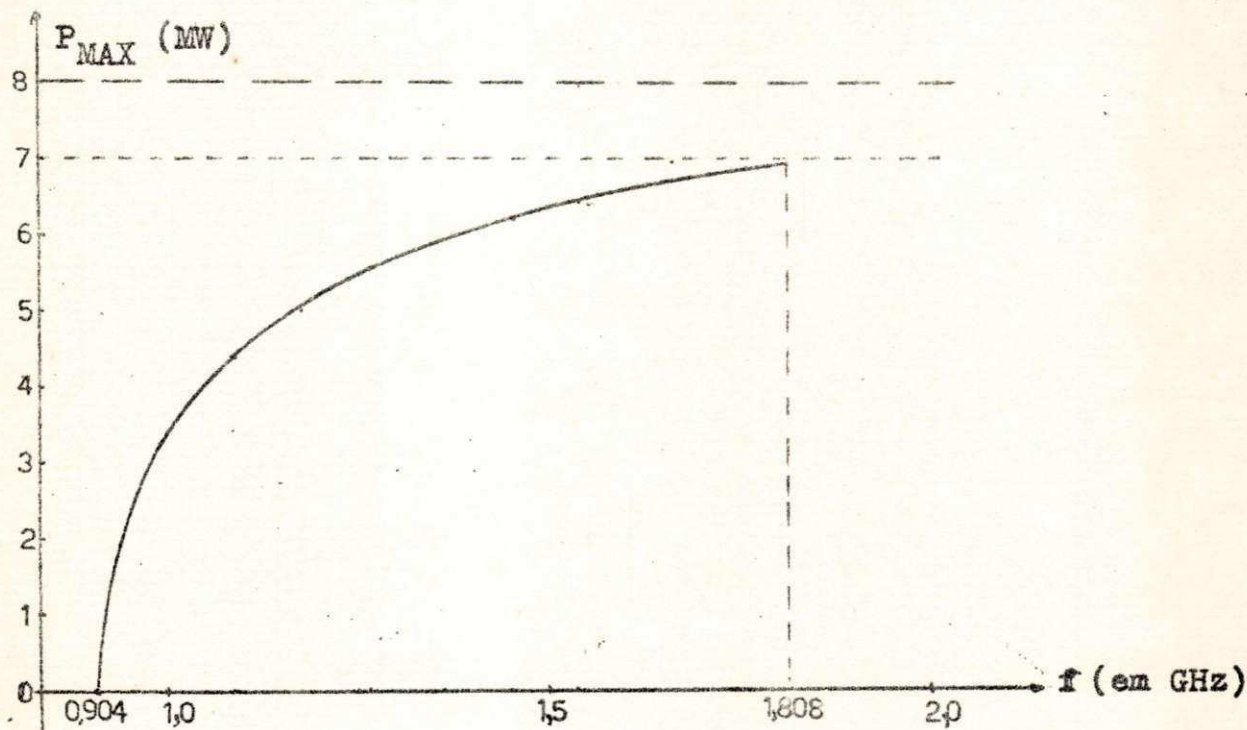


Fig. 4.3. Potência máxima de transmissão versus frequência em GHz.

O gráfico da fig. 4.3 está perfeitamente coerente com a equ. 4.7. Como se pode ver (eq. 4.16, 4.17, 4.28 e 4.29) P_0 em função da frequência é

$$P_0(f) = K \frac{B_g}{f} \quad (4.30)$$

onde

$$\frac{B_g}{f} = \sqrt{4\pi^2 \mu_0 \epsilon - \left(\frac{p}{f}\right)^2} \quad (4.31)$$

Quando a frequência cresce o segundo termo do radicando da equação 4.31 diminui. Para, por exemplo, $f = 3\text{GHz}$, $(p/f)^2$ é desresível e função de $4\pi^2\mu_0\epsilon$.

Portanto

$$P_0(f) = \text{Cte.} \quad \text{para } f \geq 3 \text{ GHz}$$

. X . X .

CAPÍTULO V

CONSTANTE DE ATENUAÇÃO

5.1. Introdução

A atenuação em guias de onda pode ser devido a três causas:

- a) Comprimento de onda de operação maior que o comprimento de onda de corte;
- b) Perdas no dielétrico e
- c) Perdas nas paredes do guia.

Estamos interessados somente no terceiro caso. uma vez que o guia em estudo não tem dielétrico nem tencionamos trabalhar com comprimento de onda de operação além ou aquém do comprimento de onda de corte.

A constante de atenuação α para o caso de perdas nas paredes do guia é dada por

$$\alpha = \frac{P_L}{2P_0} \text{ nepers/m} \quad (5.1)$$

5.2. Potência de Perda

A potência de perda para determinado guia é dada por

$$P_L = \frac{\rho_s}{2} \int_s |H|^2 ds \quad (5.2)$$

onde H é a componente tangencial do campo magnético na parede do guia e ρ_s é a resistência devida ao efeito pelicular do condutor. Essa resistência, em ohms/metro, é dada por

$$\rho_s = \sqrt{\mu_0 / 2\sigma_2} \quad (5.3)$$

A integral 5.2 é avaliada sobre a superfície do guia por unidade de comprimento.

Na figura 5.1 abaixo detalhamos as superfícies que contribuem para a potência de perda. Numeramos cada detalhe e calcularemos as potências separadamente e depois somaremos todas para obter a potência de perda total. Vemos que temos potência de perda referente a H_z , H_θ e H_r e referente à parede externa do condutor central, parede interna do condutor externo e paredes superior e inferior da lâmina condutora. (Fig. 5.1). A presença da potência de perda é devido à densidade de corrente superficial no guia

$$\bar{J} = \bar{n} \times \bar{H} \quad (5.4)$$

Para sistematizar nossos cálculos designaremos cada potência envolvida por P_{L1} , P_{L2} , ..., conforme o detalhe numerado na fig. 5.1. Assim P_{L1} é a potência de perda devida a H_θ na parede externa do condutor central, P_{L2} é a potência

de perda devido a H_e na parede interna do condutor externo, P_{L3} é a potência de perda devido a H_z na parede externa do condutor central e assim por diante.

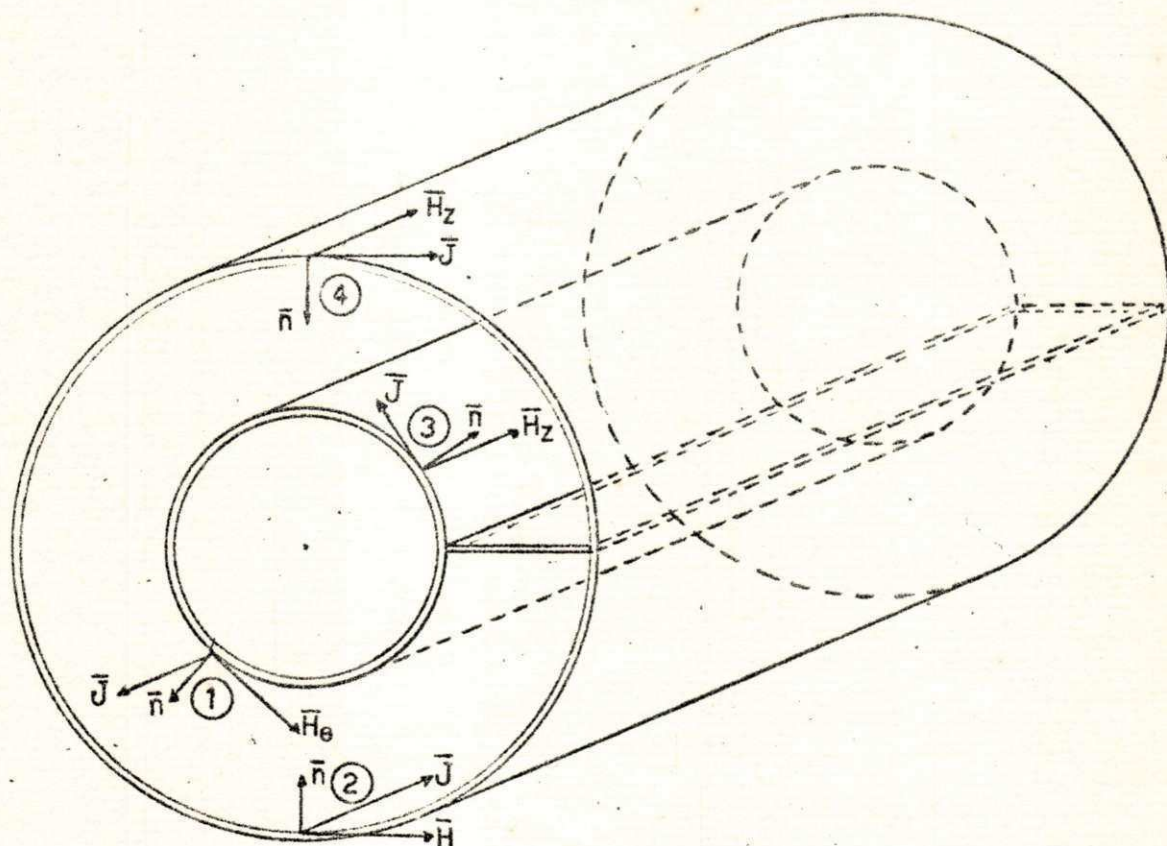


Fig. 5.1. Guia lunar concêntrico mostrando a contribuição da cada superfície para a potência de perda.(A contribuição devido à lâmina está detalhado nas figs. 5.4 e 5.5)

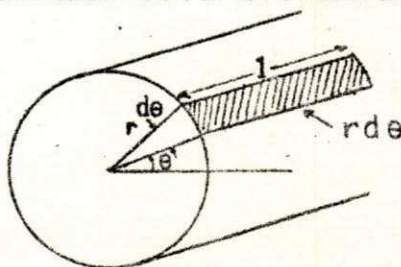


Fig. 5.2. Elemento de superfície em um guia cilíndrico para as potências P_{L1} , P_{L2} , P_{L3} e P_{L4} .

Potência de perda devido a H_θ nas paredes do guia

H_θ é dado por 3.16, então

$$|H_\theta|^2 = \left[\frac{\beta_g H_2}{2p^2} \cdot \frac{F(r)}{r} \cdot \sin \frac{\theta}{2} \right]^2 \quad (5.5)$$

Em virtude de 5.2 temos para P_{L1}

$$P_{L1} = \frac{R_s \pi}{2} \int_0^{2\pi} \left[\frac{\beta_g H_2 F(r)}{2p^2} \right] \sin^2 \frac{\theta}{2} \cdot r d\theta \quad (5.6)$$

Observe que (fig. 5.2)

$$ds = r d\theta \quad (5.7)$$

Substituindo 5.5 e 5.7 em 5.6 obtemos, para $r = a$

$$P_{L1} = \frac{R_s \pi}{2a} \left[\frac{\beta_g H_2 F(a)}{2p^2} \right] \quad (5.8)$$

E de modo análogo para $r = b$, temos

$$P_{L2} = \frac{R_s \pi}{2b} \left[\frac{\beta_g H_2 F(b)}{2p^2} \right] \quad (5.9)$$

Potência de perda devido H_z nas paredes do guia

De 3.17 obtemos

$$|H_z|^2 = \left[H_2 F(r) \cdot \cos \frac{\theta}{2} \right]^2$$

Então para $r = a$

$$P_{L3} = \frac{R_s}{2} \left[H_2 F(a) \right]^2 a \int_0^{2\pi} \cos^2 \frac{\theta}{2} \cdot d\theta$$

$$\therefore P_{L3} = \frac{R_s a \pi}{2} \left[H_2 F(a) \right]^2 \quad (5.10)$$

E de modo análogo para $r = b$

$$P_{L4} = \frac{\rho_s b \pi}{2} [H_2 F(b)]^2 \quad (5.11)$$

Potência de perda devido a H_r sobre a lâmina condutora

Neste caso o elemento de área será dado por (Fig. 5.3)

$$ds = dr \quad (5.12)$$

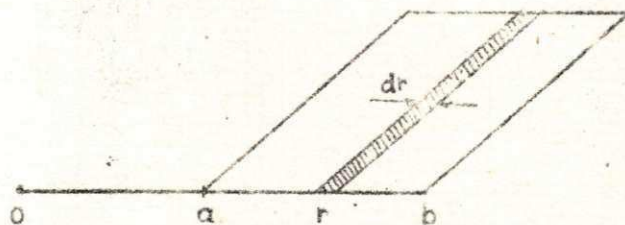


Fig. 5.3 - Elemento de área sobre a lâmina condutora.

A potência de perda será

$$P_{L5} = \frac{\rho_s}{2} \int_a^b |H_r|^2 dr \quad (5.13)$$

Colocando 3.15 em 5.13, obtemos, para $\theta = 0$ (fig. 5.4a)

$$P_{L5a} = \frac{\rho_s}{2} \int_a^b \left[\frac{s_g H_2}{p} \cdot G(r) \right]^2 dr$$

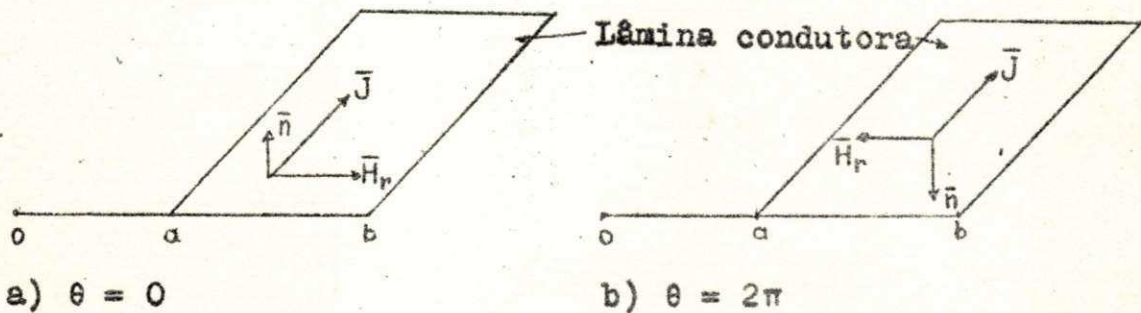
ou

$$P_{L5a} = \frac{\rho_s}{2} \left[\frac{s_g H_2}{p} \right]^2 \int_a^b G^2(r) dr \quad (5.14)$$

Para $\theta = 2\pi$, temos uma contribuição igual à anterior, i.e.,

$P_{L5a} = P_{L5b} = P_{L5}$ e a contribuição total será de $2P$.

$$P_{L5} = \frac{\rho_s}{2} \left[\frac{s_g H_2}{p} \right]^2 \int_a^b G^2(r) dr \quad (5.15)$$

Fig. 5.4.A componente de H_r em $\theta=0$ e $\theta=2\pi$.

A integral de 5.15 pode ser obtida integrando a expressão seguinte, (ver apendice A)

$$G^2(r) = Y_{1/2}^2(pr) + C^2 J_{1/2}^2(pr) - 2CJ_{1/2}(pr) \cdot Y_{1/2}(pr)$$

ou em termos de seno e cosseno (eq.A.17)

$$\begin{aligned} G^2(r) = & \frac{2}{pr} \left[\frac{\sin^2 pr}{pr} + \frac{1}{4p^2} \cdot \frac{\cos^2 pr}{r^3} + \left(\frac{1-C^2}{p} \right) \frac{\sin pr \cdot \cos pr}{r^2} + \right. \\ & + C \cdot \frac{\cos^2 pr}{r} + \frac{C^2 \cdot \sin^2 pr}{4p^2 r^3} - 2C \cdot \frac{\sin pr \cdot \cos pr}{r} + \frac{C \cdot \sin^2 pr}{p r^2} - \\ & \left. - \frac{C \cdot \cos^2 pr}{p r^2} + \frac{C}{2p^2} \cdot \frac{\sin pr \cdot \cos pr}{r^3} \right] \quad (5.16) \end{aligned}$$

Potência de Perda devido a H_z sobre a lâmina condutora

Como no caso anterior, teremos (ver. fig. 5.5)

$$P_{L6} = \frac{\rho_s}{2} \int_a^b |H_z|^2 dr$$

Devido a 3.17, para $\theta = 0$, podemos escrever

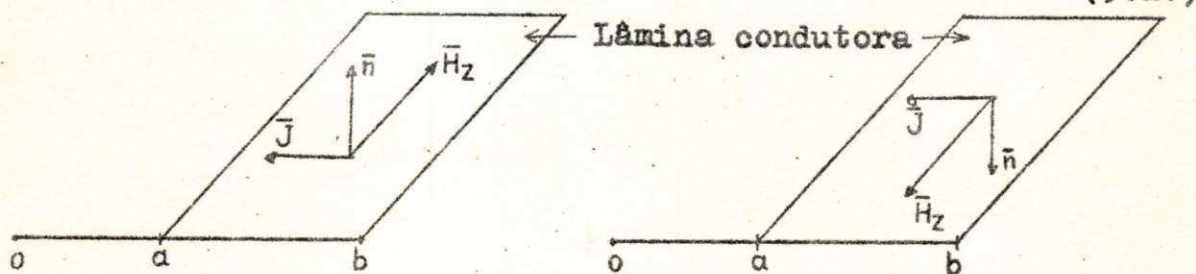
$$P_{L6} = \frac{\rho_s H_0^2}{2} \int_a^b F^2(r) dr \quad (5.17)$$

A integral da eq.5.17 pode ser obtida integrando a expressão seguinte, de maneira análoga ao item anterior:

$$F^2(r) = Y_{1/2}^2(pr) + C^2 J_{1/2}^2(pr) - 2C J_{1/2}(pr) \cdot Y_{1/2}(pr)$$

ou em termos de seno e cosseno (ver desenvolvimento detalhado no apêndice A, eq. A.15)

$$F^2(r) = \frac{2}{pr} \left[\frac{\cos^2 pr}{r} + C^2 \cdot \frac{\sin^2 pr}{r} + 2C \cdot \frac{\sin pr \cdot \cos pr}{r} \right] \quad (5.18)$$



a) $\theta = 0$

$\theta = 2\pi$

Fig. 5.5. Componente de H_z em $\theta = 0$ e $\theta = 2\pi$

Como no caso anterior a contribuição devida a H_z na lâmina será $2P_{L6}$.

Então, finalmente, a potência de perda total no guia será

$$P_L = P_{L1} + P_{L2} + P_{L3} + P_{L4} + 2P_{L5} + 2P_{L6} \quad (5.19)$$

5.3. Constante de Atenuação

Agora estamos em condições de calcular a constante de atenuação usando as expressões 5.19, 4.7 e 5.1.

Para o cálculo numérico da constante de atenuação

empregamos o programa nº 17, apêndice F. Obtivemos a seguinte tabela:

TABELA 5.1. Potência de Transmissão, Potência de Perda e Coeficiente de atenuação em função da frequência.

f (GHz)	P_o (MW)	P_L (MW)	α (dB/m)
*) 0,9038	0,0000	0,02684	infinito
1,0845	4,4162	0,02845	0,02799
1,2653	5,5913	0,03013	0,02340
1,4461	6,2365	0,03178	0,02213
1,6268	6,6428	0,03340	0,02184
**) 1,8076	6,9188	0,03497	0,02195
1,9883	7,1162	0,03650	0,02227
2,1691	7,2626	0,03798	0,02271
2,3500	7,3746	0,03941	0,02321
2,5306	7,4623	0,04080	0,02375
**) 2,7114	7,5323	0,04215	0,02430
2,8922	7,5891	0,04347	0,02488
3,0729	7,6358	0,04475	0,02545
3,2537	7,6748	0,04600	0,02603
3,4344	7,7076	0,04721	0,02660
**) 3,6152	7,7355	0,04840	0,02717
3,7960	7,7594	0,04956	0,02774
3,9767	7,7801	0,05070	0,02830
4,1575	7,7981	0,05181	0,02886
4,3383	7,8139	0,05290	0,02940
**) 4,5190	7,8278	0,05397	0,02994

*) frequência de corte

**) múltiplo da freq.de corte

Com os resultados obtidos na tabela 5.1 construimos o gráfico seguinte da variação da constante de atenuação com a frequência.

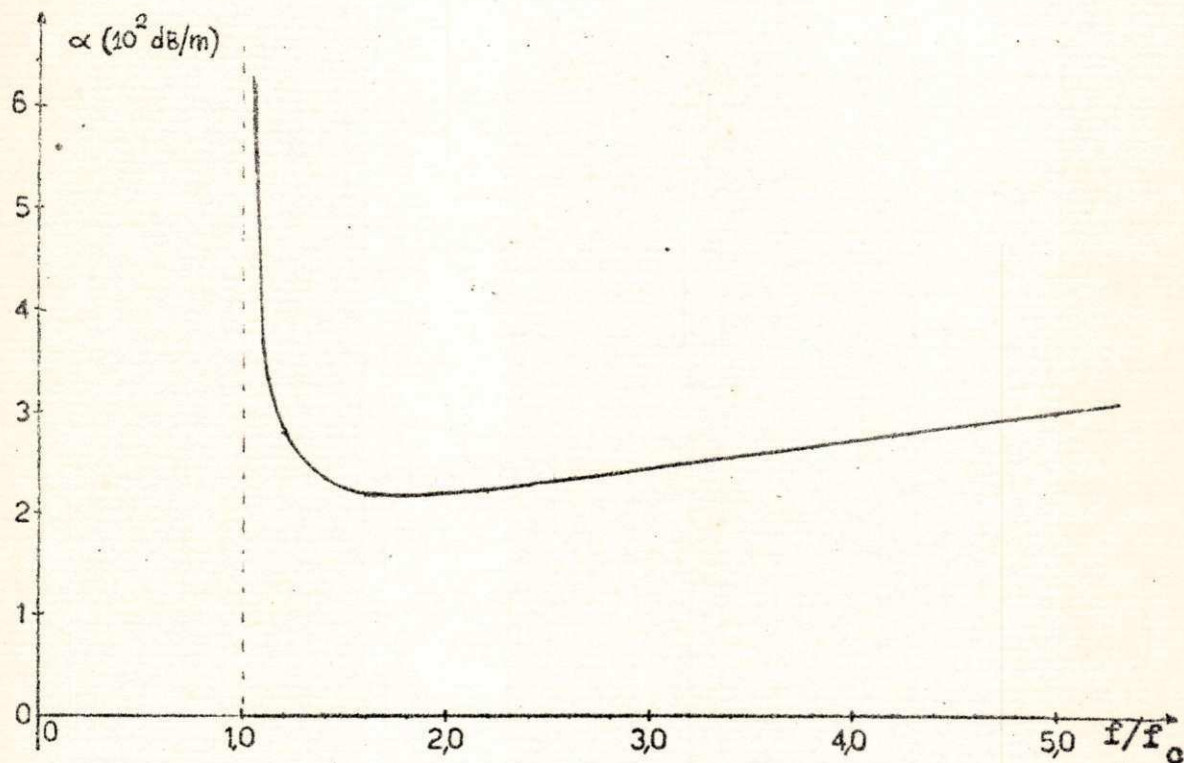


Fig. 5.6. Variação da constante de atenuação com a frequência.

- X - X -

CAPÍTULO VI

CONCLUSÕES

Como vimos o trabalho é bastante tedioso concer - nente à obtenção das equações de potência de transmissão e potência de perda. Essas equações serão ainda muito mais difíceis de se obter quando o guia lunar não for simétrico, nesse caso o melhor será utilizar métodos aproximados, como o método de transformação conforme que foi desenvolvido paralelamente por Alcyr J. Monticelli, em tese na UFPb, Escola Politécnica, 1971.

Todos os resultados obtidos por computador foram conferidos e o erro máximo não excedeu 1%. Para os casos limites os resultados foram conferidos com os obtidos por Meinke e outros (ref. G-05) em artigo publicado pela revista IEEE, 1963.

Apesar de termos estudado um caso particular para os raios internos e externos, não há a menor dificuldade de extender esses resultados para outras dimensões.

Do estudo que acabamos de fazer podemos resumir as seguintes conclusões:

1) O modo dominante é o modo $TE_{1/2,1}$, cujo comprimento de onda respectivo é

$$\lambda_c = 0,03317 \text{ m}$$

2) A faixa de passagem está entre 0,9 MHz e 1,8MHz, i.e., temos uma faixa de passagem de 1:2, equivalente a do guia de secção retangular.

3) O método exato é bastante difícil de trabalhar devido à complexidade das integrações que envolvem as funções de Bessel.

4) As famílias de modo TE_{no} não foram tratadas no texto em virtude de elas não existirem para os guias de secção circular(Ver apêndice B).

As características ótimas para o guia lunar são obtidas quando variamos a excentricidade. Neste caso é possível se obter uma faixa de passagem bem maior que 1:2 (ver apêndice F). O estudo de guias lunares excêntricos está sendo feito pelo Prof. Paavo A. Vuorinen, orientador do presente trabalho.

APÊNDICE A

INTEGRAIS DE FUNÇÕES DE BESSEL DE ORDEM 1/2

A-1. Relações entre as funções de Bessel de ordem 1/2 e as funções trigonométricas

No cálculo da potência de transmissão e de perda, necessitamos frequentemente das funções de Bessel. No caso particular dos modos $TE_{1/2,m}$, as funções de Bessel podem ser expressas em termos de seno e cosseno como abaixo (G-01)

$$J_{1/2}(ax) = \sqrt{\frac{2}{\pi ax}} \sin ax \quad (A.1)$$

$$Y_{1/2}(ax) = -\sqrt{\frac{2}{\pi ax}} \cos ax \quad (A.2)$$

$$Y'_{1/2}(ax) = \sqrt{\frac{2}{\pi ax}} \left[\sin ax + \frac{\cos ax}{2ax} \right] \quad (A.3)$$

$$J'_{1/2}(ax) = \sqrt{\frac{2}{\pi ax}} \left[\cos ax - \frac{\sin ax}{2ax} \right] \quad (A.4)$$

A.2. Integração de Produto de Funções de Bessel

No cálculo da potência média de transmissão e potência média de perda encontramos frequentemente integrais de

expressões do tipo $F^2(x)$, $G^2(x)$, $F^2(x)/x$ e $x.G^2(x)$, onde F $F(x)$ e $G(x)$ foram definidos na secção 3.7, i.e.,

$$F(x) = Y_{1/2}(ax) - C J_{1/2}(ax) \quad (\text{A.5})$$

$$G(x) = Y'_{1/2}(ax) - C J'_{1/2}(ax) \quad (\text{A.6})$$

onde C é uma constante arbitrária a determinar que depende das dimensões do guia.

Então

$$F^2(x) = Y_{1/2}^2(ax) + C^2 J_{1/2}^2(ax) - 2CJ_{1/2}(ax)Y_{1/2}(ax) \quad (\text{A.7})$$

$$G^2(x) = Y'_{1/2}^2(ax) + C^2 J'_{1/2}^2(ax) - 2CJ'_{1/2}(ax)Y_{1/2}(ax) \quad (\text{A.8})$$

Tomando os quadradinhos das expressões A.1, A.2, A.3 e A.4 temos

$$J_{1/2}^2(ax) = \frac{2}{\pi a} \cdot \frac{\sin^2 ax}{x} \quad (\text{A.9})$$

$$Y_{1/2}^2(ax) = \frac{2}{\pi a} \cdot \frac{\cos^2 ax}{x} \quad (\text{A.10})$$

$$J'_{1/2}^2(ax) = \frac{2}{\pi a} \left[\frac{\cos^2 ax}{x} + \frac{1}{4a^2} \cdot \frac{\sin^2 ax}{x^3} - \frac{1}{a} \cdot \frac{\sin ax \cdot \cos ax}{x^2} \right] \quad (\text{A.11})$$

$$Y'_{1/2}^2(ax) = \frac{2}{\pi a} \left[\frac{\sin^2 ax}{x} + \frac{1}{4a^2} \cdot \frac{\cos^2 ax}{x^3} + \frac{1}{a} \cdot \frac{\sin ax \cdot \cos ax}{x^2} \right] \quad (\text{A.12})$$

Observe também que

$$J_{1/2}(ax)Y_{1/2}(ax) = - \frac{2}{\pi a} \cdot \frac{\sin ax \cdot \cos ax}{x} \quad (\text{A.13})$$

$$J_{1/2}'(ax) \cdot Y_{1/2}'(ax) = \frac{2}{\pi a} \left[\frac{\sin ax \cdot \cos ax}{x} - \frac{1}{2a} \cdot \frac{\sin^2 ax}{x^2} + \frac{1}{2a} \cdot \frac{\cos^2 ax}{x^2} - \right. \\ \left. - \frac{1}{4a^2} \cdot \frac{\sin ax \cdot \cos ax}{x^3} \right] \quad (\text{A.14})$$

Então

$$F^2(x) = \frac{2}{\pi a} \left[\frac{\cos^2 ax}{x} + C^2 \cdot \frac{\sin^2 ax}{x} + 2C \cdot \frac{\sin ax \cdot \cos ax}{x} \right] \quad (\text{A.15})$$

$$\frac{F^2(x)}{x} = \frac{2}{\pi a} \left[\frac{\cos^2 ax}{x^2} + C^2 \cdot \frac{\sin ax}{x^2} + 2C \cdot \frac{\sin ax \cdot \cos ax}{x^2} \right] \quad (\text{A.16})$$

$$G^2(x) = \frac{2}{\pi a} \left[\frac{\sin^2 ax}{x} + \frac{1}{4a^2} \cdot \frac{\cos^2 ax}{x^3} + \left(\frac{1-C^2}{a} \right) \cdot \frac{\sin ax \cdot \cos ax}{x^2} + \right. \\ \left. + C^2 \cdot \frac{\cos^2 ax}{x} + \frac{C^2}{4a^2} \cdot \frac{\sin^2 ax}{x^3} - 2C \cdot \frac{\sin ax \cdot \cos ax}{x} - \right. \\ \left. - \frac{C}{a} \cdot \frac{\cos^2 ax}{x^2} + \frac{C}{a} \cdot \frac{\sin^2 ax}{x^2} + \frac{C}{2a^2} \cdot \frac{\sin ax \cdot \cos ax}{x^3} \right] \quad (\text{A.17})$$

$$xG^2(x) = \frac{2}{\pi a} \left[\frac{\sin^2 ax}{x} + \frac{1}{4a^2} \cdot \frac{\cos^2 ax}{x^2} + \left(\frac{1-C^2}{a} \right) \cdot \frac{\sin ax \cdot \cos ax}{x} + \right. \\ \left. + C^2 \cdot \cos^2 ax + \frac{C^2}{4a^2} \cdot \frac{\sin^2 ax}{x^2} - 2C \cdot \sin ax \cdot \cos ax - \right. \\ \left. - \frac{C}{a} \cdot \frac{\cos^2 ax}{x} + \frac{C}{a} \cdot \frac{\sin^2 ax}{x} + \frac{C}{2a^2} \cdot \frac{\sin ax \cdot \cos ax}{x^2} \right] \quad (\text{A.18})$$

As integrais das expressões A.15 a A.18 serão obtidas simplesmente integrando termo a termo, entrando na tabela de integrais que segue. (Tab.A.1). Observe que definimos, no nosso caso, seno integral e cosseno integral respectivamente por

$$Si(ax) = \int_0^x \frac{\sin az}{z} dz$$

$$Cin(ax) = \int_0^x \frac{1-\cos az}{z} dz$$

TABELA A.1-Tabela de Integrais

01. $\int_0^x \cos^2 az dz = \frac{x}{2} + \frac{\sin 2ax}{4a}$

02. $\int_0^x \sin^2 az dz = \frac{x}{2} - \frac{\sin 2ax}{4a}$

03. $\int_0^x \sin az \cdot \cos az dz = -\frac{\cos 2ax}{4a}$

04. $\int_0^x \frac{\sin az}{z} dz = \sum_{n=1}^{\infty} (-1)^{n+1} \frac{(ax)^{2n-1}}{(2n-1)(2n-1)!} = Si(ax)$

05. $\int_0^x \frac{1 - \cos az}{z} dz = \sum_{n=1}^{\infty} (-1)^{n+1} \frac{(ax)^{2n}}{(2n)(2n)!} = Cin(ax)$

06. $\int_0^x \frac{\cos az}{z} dz = \ln |x| - Cin(ax)$

07. $\int_0^x \frac{\sin az}{z^2} dz = a[\ln |x| - Cin(ax)] - \frac{\sin ax}{x}$

08. $\int_0^x \frac{\cos az}{z^2} dz = -a.Si(ax) - \frac{\cos ax}{x}$

09. $\int_0^x \frac{\sin^2 az}{z} dz = \frac{1}{2}.Cin(2ax)$

10. $\int_0^x \frac{\cos^2 az}{z} dz = -\left[\frac{1}{2}.Cin(2ax) - \ln |x|\right]$

11. $\int_0^x \frac{\cos^2 az}{z^2} dz = -\frac{1}{2x} - \frac{\cos 2ax}{2x} - a.Si(2ax)$

12. $\int_0^x \frac{\sin^2 az}{z^2} dz = -\frac{1}{2x} + \frac{\cos 2ax}{2x} + a.Si(2ax)$

13. $\int_0^x \frac{\sin az \cdot \cos az}{z} dz = \frac{1}{2}.Si(2ax)$

14. $\int_0^x \frac{\sin az \cdot \cos az}{z^2} dz = -\frac{\sin 2ax}{2x} - a[Cin(2ax) - \ln |x|]$

$$15. \int_0^x \frac{\cos^2 az}{z^3} dz = -\frac{1}{4x^2} - \frac{\cos 2ax}{4x^2} + a \cdot \frac{\sin 2ax}{2x} - \\ - a^2 \left[\ln |x| - \operatorname{Cin}(2ax) \right]$$

$$16. \int_0^x \frac{\sin^2 az}{z^3} dz = -\frac{1}{4x^2} + \frac{\cos 2ax}{4x^2} - a \cdot \frac{\sin 2ax}{2x} + \\ + a^2 \left[\ln |x| - \operatorname{Cin}(2ax) \right]$$

$$17. \int_0^x \frac{\sin az \cdot \cos az}{z^3} dz = -\frac{\sin 2ax}{4x^2} - a^2 \cdot \operatorname{Si}(2ax) - \\ - a \cdot \frac{\cos 2ax}{2x}$$

- x - x -

)

APÊNDICE B

FAMÍLIA DE MODOS TE_{no} NOS GUIAS CILINDRICOS

No estudo que fizemos não levamos em conta a existência dos modos TE_{no}. Desejamos agora pesquisar se essa família de modos existem, i.e., verificar se há modos que não tenham variação radial. No caso específico dos guias lunares, desejamos saber, se entre os modos TE_{nm} existem modos TE_{no}, onde n é a variação angular e m a variação radial.

Das equações de Maxwell obtemos as seguintes equações (G.03)

$$\nabla^2 \mathbf{E} = \mu\epsilon \frac{\partial^2 \mathbf{E}}{\partial t^2} \quad (\text{B.01})$$

$$\nabla^2 \mathbf{H} = \mu\epsilon \frac{\partial^2 \mathbf{H}}{\partial t^2} \quad (\text{B.02})$$

Em coordenadas cilíndricas a equação de onda se torna

$$\nabla^2 \Phi = \frac{\partial^2 \Phi}{\partial r^2} + \frac{1}{r^2} \cdot \frac{\partial^2 \Phi}{\partial \theta^2} + \frac{1}{r} \cdot \frac{\partial \Phi}{\partial r} + \frac{\partial^2 \Phi}{\partial z^2} = \mu\epsilon \frac{\partial^2 \Phi}{\partial t^2} \quad (\text{B.03})$$

onde Φ é qualquer componente de campo de E ou H.

Para o modo TE_{no} a solução de B.03 não depende de r ($m = 0$). Suponhamos uma solução da forma

$$\Phi = \rho(\theta) \cdot e^{j(\omega t - \beta z)} \quad (B.04)$$

Desse modo temos

$$\frac{\partial \Phi}{\partial r} = 0 \quad \text{e} \quad \frac{\partial^2 \Phi}{\partial \theta^2} = 0$$

Portanto B.03 se torna

$$\frac{1}{r^2} \cdot \frac{\partial^2 \Phi}{\partial \theta^2} + \frac{\partial^2 \Phi}{\partial z^2} - \mu \epsilon \frac{\partial^2 \Phi}{\partial t^2} = 0 \quad (B.05)$$

De B.04 obtemos

$$\begin{aligned} \frac{\partial \Phi}{\partial \theta} &= \frac{\partial \rho(\theta)}{\partial \theta} \cdot e^{j(\omega t - \beta z)} \\ \frac{\partial^2 \Phi}{\partial \theta^2} &= \frac{\partial^2 \rho(\theta)}{\partial \theta^2} \cdot e^{j(\omega t - \beta z)} = \frac{\Phi}{\rho} \cdot \frac{\partial^2 \rho}{\partial \theta^2} \end{aligned} \quad (B.06)$$

$$\frac{\partial \Phi}{\partial z} = \rho e^{j\omega t} (-\beta) \cdot e^{-\beta z}$$

$$\frac{\partial^2 \Phi}{\partial z^2} = \rho e^{j\omega t} \beta^2 e^{-\beta z} = \beta^2 \Phi \quad (B.07)$$

$$\frac{\partial \Phi}{\partial t} = \rho \cdot j\omega \cdot e^{j(\omega t - \beta z)}$$

$$\frac{\partial^2 \Phi}{\partial t^2} = -\rho \omega^2 e^{j(\omega t - \beta z)} = -\omega^2 \Phi \quad (B.08)$$

Substituindo B.06, B.07 e B.08 em B.05 obtemos

$$\frac{1}{r^2} \cdot \frac{\Phi}{\rho} \cdot \frac{\partial^2 \rho}{\partial \theta^2} + \Phi (\beta^2 + \mu \epsilon \omega^2) = 0$$

ou

$$\frac{1}{\rho} \cdot \frac{\partial^2 \rho}{\partial \theta^2} = - r^2 (\beta^2 + \mu \epsilon \omega^2) \quad (B.09)$$

A relação B.09 acima só pode existir se r for constante que sabemos não ser possível, donde se conclui que não deve existir a família de modos TE_{no}.

- x - x -

APÊNDICE C

PROGRAMAS PARA OBTENÇÃO DAS FUNÇÕES DE BESEL

C.1-Obtenção de $J_0(x)$ - PROGRAMA N.º 01

```
FUNCTION BESJ0(XX)
DIMENSION A(24), C(10), D(10), T(24)
A(2) = .15772797
A(4) = -.00872344
A(6) = .25517861
A(8) = -.37009499
A(10) = .15806710
A(12) = -.03489377
A(14) = .00481918
A(16) = -.00046063
A(18) = .00003246
A(20) = -.00000176
A(22) = .00000008
A(24) = .0
C(2) = .99946030
C(4) = -.00053652
C(6) = .00000307
C(8) = -.00000005
C(10) = .0
D(2) = -.01555585
D(4) = .00006838
D(6) = -.00000074
D(8) = .00000002
D(10) = .0
C*** TESTA SE XX E MENOR OU MAIOR QUE 8
IF(XX=8.)1,1,2
C*** CALCULOS PARA XX MENOR OU IGUAL A 8
1. X=XX/8.
C*** GERACAO DOS POLINOMIOS DE CHEBYSCHEV POR RECORRENCA
T(2) = 1.
T(3)=X
DO 10 M=1,21
10 T(M+3)=2.*X*T(M+2)-T(M+1)
SOMA1=0
FO 20 J=2,24,2
TERM1=A(J)*T(J)
SOMA1=SOMA1+TERM1
20 CONTINUE
BESJ0= SOMA1
GOTO6
C*** CALCULOS PARA XX MAIOR QUE 8
2 X=8./XX
C*** GERACAO DOS POLINOMIOS DE CHEBYSCHEV POR RECORRENCA
T(2) = 1.
T(3)=X
DO 40 M=1,21
40 T(M+3)=2.*X*T(M+2)-T(M+1)
SOMA3=0
SOMA4=0
DO 30 K=2,10,2
TERM3=C(K)*T(K)
```

CONTINUAÇÃO

-PROGRAMA N.º 01

```
TERM4=D(K)*T(K)
SOMA3=SOMA3+TERM3
SOMA4=SOMA4+TERM4
30  CONTINUE
P3=SOMA3
Q4=X*SOMA4
ZETA0=XX-.78539816
AA=.79788456/SQRT(XX)
PESJO=AA*(P3*COS(ZETA0)-Q4*SIN(ZETA0))
6   RETURN
END
```

C.2—Obtenção de $Y_0(x)$ — PROGRAMA N.º 02

```

FUNCTION BESY0(XX)
DIMENSION B(24), C(10), D(10), T(24)
B(2)=-.03314611
E(4)=-.27447430
E(6)= .17903431
P(8)= .26156735
B(10)=-.17730201
F(12)= .04719669
B(14)=-.00728796
B(16)= .00075311
B(18)=-.00005632
B(20)= .00000321
B(22)=-.00000014
B(24)= .0
C(2)= .90946030
C(4)=-.00053652
C(6)= .00000307
C(8)=-.00000005
C(10)= .0
D(2)=-.01555585
D(4)= .00006838
D(6)=-.00000074
D(8)= .00000002
D(10)= .0
C*** TESTA SE XX E MENOR OU MAIOR QUE 8
IF(XX=.8.)1,1,2
C*** CALCULOS PARA XX MENOR OU IGUAL A 8
1 X=XX/8.
C*** GERACAO DOS POLINOMIOS DE CHEBYSCHEV POR RECORRENCA
T(2)= 1.
T(3)=X
DO 10 M=1,21
10 T(M+3)=2.*X*T(M+2)-T(M+1)
SOMA2=0
DO 20 J=2,24,2
TERM2=B(J)*T(J)
SOMA2=SOMA2+TERM2
20 CONTINUE
BESY0=.63661977*ALOG(XX)*BESJ0(XX)+SOMA2
GOTO6
C*** CALCULOS PARA XX MAIOR QUE 8
2 X=8./XX
C*** GERACAO DOS POLINOMIOS DE CHEBYSCHEV POR RECORRENCA
T(2)= 1.
T(3)=X
DO 40 M=1,21
40 T(M+3)=2.*X*T(M+2)-T(M+1)
SOMA3=0
SOMA4=0
DO 30 K=2,10,2
TERM3=C(K)*T(K)

```

Continuação

-PROGRAMA N. 02

```
TERM4=D(K)*T(K)
SOMA3=SOMA3+TERM3
SOMA4=SOMA4+TERM4
30 CONTINUE
P3=SOMA3
Q4=X*SOMA4
ZETAC=XX-.78539816
AA=.79788456/SQRT(XX)
BESY0= AA*(Q4*COS(ZETA0)+P3*SIN(ZETA0))
6 RETURN
END
```

C.3-Obtenção de $J_1(x)$ PROGRAMA N. 03

```

FUNCTION BESJ1(XX)
DIMENSION A(24), C(10), D(10), T(24)
A(2) = .64835877
A(4) = -1.19180116
A(6) = 1.28799410
A(8) = -.66144393
A(10) = .17770911
A(12) = -.02917552
A(14) = .00324027
A(16) = -.00026044
A(18) = .00001588
A(20) = -.00000076
A(22) = .00000003
A(24) = .0
C(2) = 1.00090304
C(4) = .00089899
C(6) = -.00000399
C(8) = .00000006
C(10) = .0
D(2) = .04.77779
D(4) = -.00009628
D(6) = .00000091
D(8) = -.00.000002
D(10) = .0
C*** TESTA SE XX E MENOR OU MAIOR QUE 8
IF(XX-.8.)1,1,2
C*** CALCULOS PARA XX MENOR OU IGUAL A 8
1. X=XX/8.
C*** GERACAO DOS POLINOMIOS DE CHEBYSCHEV POR RECORRENCA
T(2) = 1.
T(3)=X
DO 10 M=1,21
10 T(M+3)=2.*X*T(M+2)-T(M+1)
SOMA1=0
DO 20 J=2,24,2
TERM1=A(J)*T(J)
SOMA1=SOMA1+TERM1
20 CONTINUE
BESJ1=X*SOMA1
GOTO6
C*** CALCULOS PARA XX MAIOR QUE 8
2 X=8./XX
C*** GERACAO DOS POLINOMIOS DE CHEBYSCHEV POR RECORRENCA
T(2) = 1.
T(3)=X
DO 40 M=1,21
40 T(M+3)=2.*X*T(M+2)-T(M+1)
SOMA3=0
SOMA4=0
DO 30 K=2,10,2
TERM3=C(K)*T(K)

```

Continuação

—PROGRAMA N.º 03

```
TERM4=D(K)*T(K)
SOMA3=SOMA3+TERM3
SOMA4=SOMA4+TERM4
30  CONTINUE
P3=SOMA3
Q4=X*SOMA4
ZETA1=XX-2.35619449
AA=.79788456/SQRT(XX)
BESJ1=AA*(P3*COS(ZETA1)-Q4*SIN(ZETA1))
6   RETURN
END
```

C.4-Obtenção de $Y_1(x)$ - PROGRAMA N.º 04

```

FUNCTION BESY1(XX)
DIMENSION B(24), C(10), D(10), T(24)
B(2)= .02030406
B(4)=-.12869738
B(6)=-.76729636
B(8)= .67561578
B(10)=-.22662499
B(12)= .04231918
B(14)=-.00513164
B(16)= .00044047
B(18)=-.00002830
B(20)= .00000142
B(22)=-.00000006
B(24)= .0
C(2)=1.00090304
C(4)= .00089899
C(6)=-.00000399
C(8)= .00000006
C(10)= .0
D(2)= .04677779
D(4)=-.00009628
D(6)= .00000091
D(8)=-.00000002
D(10)= .0
C*** TESTA SE XX E MENOR OU MAIOR QUE 8
IF(XX>8)1,1,2
C*** CALCULOS PARA XX MENOR OU IGUAL A 8
1.
X=XX/8.
C*** GERACAO DOS POLINOMIOS DE CHEBYSCHEV POR RECORRENCA
T(2) = 1.
T(3)=X
DO 10 M=1,21
10   T(M+3)=2.*X*T(M+2)-T(M+1)
    /SOMA2=0
    DO 20 J=2,24,2
    TERM2=B(J)*T(J)
    SOMA2=SOMA2+TERM2
20   CONTINUE
    IF(XX>160,50,60
50   BESY1=-.1E 38
    GOTO6
60   BESY1=.63661977*(ALOG(XX)*BESJ1(XX)-1./XX)+X*SOMA2
    GOTO6
C*** CALCULOS PARA XX MAIOR QUE 8
2.
X=8./XX
C*** GERACAO DOS POLINOMIOS DE CHEBYSCHEV POR RECORRENCA
T(2) = 1.
T(3)=X
DO 40 M=1,21
40   T(M+3)=2.*X*T(M+2)-T(M+1)
    SOMA3=0

```

Continuação

- PROGRAMA N. 04

```
SOMA4=0
DO 30 K=2,10,2
TERM3=C(K)*T(K)
TERM4=D(K)*T(K)
SOMA3=SOMA3+TERM3
SOMA4=SOMA4+TERM4
30 CONTINUE
P3=SOMA3
Q4=X*SOMA4
ZETA1=XX-2.35619449
AA=.79788456/SQRT(XX)
BESY1= AA*(Q4*COS(ZETA1)+P3*SIN(ZETA1))
6 RETURN
END
```

C.5-Obtenção de $J_2(x)$ - PROGRAMA N. 05

```

FUNCTION BESJ2(XX)
IF(XX)60,.50,60
50 BESJ2=.0
GOTO 10
60 BESJ2=(2./XX)*BESJ1(XX)-BESJ0(XX)
10 RETURN
END

```

C.6-Obtenção de $Y_2(x)$ - PROGRAMA N. 06

```

FUNCTION BESY2(XX)
IF(XX)50,.60,50
60 BESY2=-.1E 38
GOTO10
50 BESY2=(2./XX)*BESY1(XX)-BESY0(XX)
10 RETURN
END

```

C.7-Obtenção de $J_1'(x)$ - PROGRAMA N. 07

```

FUNCTION BEJ11(XX)
BEJ11=.5*(BESJ0(XX)-BESJ2(XX))
RETURN
END

```

C.8-Obtenção de $Y_1'(x)$ - PROGRAMA N. 08

```

FUNCTION BEY11(XX)
BEY11=.5*(BESY0(XX)-BESY2(XX))
RETURN
END

```

C.9-Obtenção de $J_{1/2}(x)$ - PROGRAMA N. 09

```
FUNCTION BJ05(X)
BJ05=(-.79788456*SIN(X))/SQRT(X)
RETURN
END
```

C.10-Obtenção de $Y_{1/2}(x)$ - PROGRAMA N. 10

```
FUNCTION BY05(X)
BY05=(-.79788456*COS(X))/SQRT(X)
RETURN
END
```

C.11-Obtenção de $J_{1/2}^*(x)$ - PROGRAMA N. 11

```
FUNCTION BJ051(X)
BJ051 = .79788456*(COS(X)-SIN(X)/(2.*X))/SQRT(X)
RETURN
END
```

C.12-Obtenção de $Y_{1/2}^*(x)$ - PROGRAMA N. 12

```
FUNCTION BY051(X)
BY051 = .79788456*(SIN(X)+COS(X)/(2.*X))/SQRT(X)
RETURN
END
```

C.13-Seno Integral -PROGRAMA N. 13

```
FUNCTION SI(X)
SI=X-(X**3)/18.+(X**5)/600.-(X**7)/35280.+(X**9)/
13265920.-(X**11)/439084800.
RETURN
END
```

C.14-Cosseno integral - PROGRAMA N° 14

```
FUNCTION CIN(X)
CIN=(X**2)/4.-(X**4)/96.+ (X**6)/4320.-(X**8)/322560.+
1(X**10)/36288000.
RETURN
END
```

- X - X -

APÊNDICE D

CÁLCULO DAS RAÍZES DE FUNÇÕES TRANSCEDENTES

D.1-Comprimento de onda de corte para o modo TE_{0m}
PROGRAMA N. 15-1

```
REAL LAMBC
C*** MÉTODO DA BISECCAO MODIFICADO
C
F(X)=BESJ1(34.*X)*BESY1(19.45*X)-BESJ1(19.45*X)*BESY1(
134.*X)
C
I=0
WRITE (3,9)
1 READ(2,10)X0,XF
2 X=(X0+XF)/2.
A=F(X)
IF(ABS(A)-.1E-7)8,8,3
3 B=F(X0)
C=F(XF)
IF(A*B)4,4,5
4 XF=X
GOTO2
5 IF(A*C)6,6,7
6 X0=X
GOTO2
7 PAUSE 1111
8 LAMRC=6.2831853/X
I=I+1
WRITE(3,11)LAMBC,I,X
9 FORMAT('1',18X,'RESULTADOS DO PROGRAMA',//)
10 FORMAT(2F10.5)
11 FORMAT('0','COMP. DE ONDA DE CORTE=',F7.3,1X,'MM'
1,2X,'MODO TE-0',I1,2X,'KC=',E13.7)
GOTO1
END
```

RESULTADOS DO PROGRAMA

COMP. DE ONDA DE CORTE =	28.768 MM	MODO TE-01	KC = 0.2184071E 00
COMP. DE ONDA DE CORTE =	14.506 MM	MODO TE-02	KC = 0.4331284E 00
COMP. DE ONDA DE CORTE =	9.686 MM	MODO TE-03	KC = 0.6486208E 00
COMP. DE ONDA DE CORTE =	7.269 MM	MODO TE-04	KC = 0.8643222E 00

D.2-Comprimento de onda de corte para o modo TE_{lm}

PROGRAMA N. 15-2

```

REAL LAMBC
C*** METODO DA BISECCAO MODIFICADO
C
F(X)=BEJ11(34.*X)*BEY11(19.45*X)-BEJ11(19.45*X)*BEY11(
134.*X)
C
I=0
WRITE (3,9)
1 READ(2,10)X0,XF
2 X=(X0+XF)/2.
A=F(X)
IF(ABS(A)=.1E-7)8,8,3
3 B=F(X0)
C=F(XF)
IF(A*B)4,4,5
4 XF=X
GOTO2
5 IF(A*C)6,6,7
6 X0=X
GOTO2
7 PAUSE 1111
8 LAMBC=6.2831853/X
I=I+1
WRITE(3,11)LAMBC,I,X
9 FORMAT('1',18X,'RESULTADOS DO PROGRAMA',//)
10 FORMAT(2F10.5)
11 FORMAT('0','COMP. DE ONDA DE CORTE=',F7.3,1X,'MM'
1,2X,'MODO TE-1',I1,2X,'KC=',E13.7)
GOTO1
END

```

RESULTADOS DO PROGRAMA

```

COMP. DE ONDA DE CORTE=166.046 MM MODO TE-11 KC=0.3784000E-01
COMP. DE ONDA DE CORTE= 28.290 MM MODO TE-12 KC=0.2220990E 00
COMP. DE ONDA DE CORTE= 14.447 MM MODO TE-13 KC=0.4349084E 00
COMP. DE ONDA DE CORTE= 9.669 MM MODO TE-14 KC=0.6497970E 00

```

D.3-Comprimento de onda de corte para o modo TE_{1/2,m}
PROGRAMA N.º 15-3

```

REAL LAMBC
C***' METODO DA BISECCAO MODIFICADO
C
F(X)=BJ051(34.*X)*BY051(19+45*X)-BJ051(19+45*X)*BY051(
134.*X)
C
I=0
WRITE(3,9)
1 READ(2,10)X0,XF
2 X=(X0+XF)/2.
A=F(X)
IF(ABS(A)->1E-7)8,8,3
3 B=F(X0)
C=F(XF)
IF(A*B)<0,4,5
4 XF=X
GOTO2
5 IF(A*C)<0,6,7
6 X0=X
GOTO2
7 PAUSE 1111
8 LAMBC=6.2331853/X
I=I+1
WRITE(3,11)LAMBC,I,X
FORMAT('1',18X,'RESULTADOS DO PROGRAMA',//)
FORMAT(2F10.5),
11 FORMAT('0','COMP. DE ONDA DE CORTE=',F7.3,1X,'MM',
1,2X,'MODO TE-1/2-',11,2X,'KC=',E13.7)
GOTO1
END

```

RESULTADOS DO PROGRAMA

COMP. DE ONDA DE CORTE=331.705 MM	MODO TE-1/2-1	KC=0.1894206E-01
COMP. DE ONDA DE CORTE= 28.646 MM	MODO TE-1/2-2	KC=0.2193345E-00
COMP. DE ONDA DE CORTE= 14.491 MM	MODO TE-1/2-3	KC=0.4335740E-00
COMP. DE ONDA DE CORTE= 9.682 MM	MODO TE-1/2-4	KC=0.6489150E-00

APÊNDICE E
CÁLCULO NORMALIZADO DOS CAMPOS

E.1--Componente Ex

PROGRAMA N. 16-1

```
C
F(X)=(BJ051(.368383)*BY05(.0189420*X)-BY051(.368383)*
1BJ05(.0189420*X))/(-.0888507*X)
C
X = 19.45
WRITE(3,30)
DO 10 I=1,21
A = F(X)
WRITE(3,20)X,A
10 X = X+.7275
20 FORMAT(T17,F9.6,T36,F9.6)
30 FORMAT(T20,'RESULTADOS DO PROGRAMA',//,T14,'R(EM MILI',
1'METRO)',T33,'ER(NORMALIZADO)',//)
STOP
END
```

RESULTADOS DO PROGRAMA

R(EM MILIMETRO) ER(NORMALIZADO)

19.450000	1.000000
20.177500	0.964017
20.904999	0.930660
21.632499	0.899640
22.359999	0.870710
23.087499	0.843654
23.814999	0.818287
24.542499	0.794445
25.269999	0.771988
25.997499	0.750789
26.724999	0.730737
27.452499	0.711735
28.179999	0.693695
28.907499	0.676539
29.634999	0.660197
30.362499	0.644608
31.089999	0.629714
31.817499	0.615464
32.544999	0.601813
33.272499	0.588719
33.999999	0.576143

E.2-Componente E

PROGRAMA N. 16-2

```

C
F(X)=(BJ051(.368383)*BY051(.018942*X)-BY051(.368383)*
1BJ051(.018942*X))/(-.0676011)
C
X = 19.45
WRITE(3,30)
DO 10 I=1,21
A = F(X)
WRITE(3,20)X,A
10 X = X+.7275
20 FORMAT(T17,F9.6,T36,F9.6)
30 FORMAT(T20,'RESULTADOS DO PROGRAMA',//,T14,'R(EM MILI',
1'METRO)',T30,'ETETA(NORMALIZADO)',//)
STOP
END

```

RESULTADOS DO PROGRAMA

R(EM MILIMETRO) ETETA(NORMALIZADO)

19.450000	0.000837
20.177500	0.268915
20.904999	0.485111
21.632499	0.656062
22.359999	0.787394
23.087499	0.883901
23.814999	0.949690
24.542499	0.988297
25.269999	1.002777
25.997499	0.995783
26.724999	0.969628
27.452499	0.926333
28.179999	0.867675
28.907499	0.795220
29.634999	0.710349
30.362499	0.614289
31.089999	0.508131
31.817499	0.392848
32.544999	0.269310
33.272499	0.138297
33.999999	0.000511

E.3-Componente H_Z

PROGRAMA N. 16-3

```

C
F(X)=(BY05(.018942*X)*BJ051(.368383)-BY051(.368383)*
1BJ05(.018942*X))/(-1.7281464)
C
X = 19.45
WRITE(3,30)
DO 10 I=1,21
A = F(X)
WRITE(3,20)X,A
10 X = X+.7275
20 FORMAT(T17,F9.6,T36,F9.6)
30 FORMAT(T20,'RESULTADOS DO PROGRAMA',//,T14,'RIEM MILI',
1'METRO',//,T33,'HZ(NORMALIZADO)',//)
STOP
END

```

RESULTADOS DO PROGRAMA

RIEM MILIMETRO HZ(NORMALIZADO)

19.450000	1.000000
20.177500	1.000075
20.904999	1.000280
21.632499	1.000590
22.359999	1.000980
23.087499	1.001432
23.814999	1.001928
24.542499	1.002451
25.269999	1.002989
25.997499	1.003528
26.724999	1.004059
27.452499	1.004571
28.179999	1.005055
28.907499	1.005504
29.634999	1.005910
30.362499	1.006268
31.089999	1.006571
31.817499	1.006814
32.544999	1.006993
33.272499	1.007103
33.999999	1.007140

- X - X - X -

APÊNDICE F

POTÊNCIA DE TRANSMISSÃO, POTÊNCIA DE PERDA E COEF. DE ATENUAÇÃO

F.01 -

PROGRAMA N.º 17

```

C... PROGRAMA PARA DETERMINAR
C... POTENCIA DE TRANSMISSAO
C... POTENCIA DE PERDA E
C... COEFICIENTE DE ATENUACAO
C... DEFINICAO DE CONSTANTES
Z1=1.E-6
Z2=1.E+9
Z3=1.E-7
H0=-1791.7484*Z2
VL=2.998*1.E+8
P=18.942061
PI=3.141592636
A=.01945
B=.034
C=(BY051(P*A))/BJ051(P*A)
FR=.9038138527*Z2
ALF=2.*P*A
BET=2.*P*B
AB=2.*A*B
BA=(B-A)/AB
CC=C*C
FA=BY05 (P*A)-C*BJ05 (P*A)
FB=BY05 (P*B)-C*BJ05 (P*B)
GA=BY051(P*A)-C*BJ051(P*A)
GB=BY051(P*B)-C*BJ051(P*B)
ABQ=.25*(1./(A**2)-1./(B**2))
SENIN=SI(BET)-SI(ALF)
COSIN=CIN(BET)-CIN(ALF)
SEDIV=(A*SIN(BET)-B*SIN(ALF))/AB
CODIV=(A*COS(BET)-B*COS(ALF))/AB
SEDIQ=(A*A*SIN(BET)-B*B*SIN(ALF))/(AB*AB)
CODIQ=(A*A*COS(BET)-B*B*COS(ALF))/(AB*AB)
SENO=SIN(BET)-SIN(ALF)
COSEN=COS(BET)-COS(ALF)
C... INTEGRACOES DEVIDO A POTENCIA DE TRANSMISSAO
XI11=BA-CODIV-P*SENIN
XI12=CC*(BA+CODIV+P*SENIN)
XI13=2.*C*(P* ALOG(B/A)-SEDIV-P*COSIN)
XI21=.5*(B-A)-(.25/P)*SENO
XI23=((1.-CC)/(2.*P))*SENIN
XI24=CC*(.5*(B-A)+(.25/P)*SENO)
XI26=((.5*C)/P)*(COSEN)
XI27=((.5*C)/P)*COSIN
XI28=-(C/P)*(ALOG(B/A)-.5*COSIN)
XI29=((.5*C)/(P*P))*(P* ALOG(B/A)-SEDIV-P*COSIN)
SM3=2.* (XI11+XI12)+XI13+4.*P*P*(XI21+XI23+XI24+XI26+XI
127+XI28+XI29)
C... INTEGRACOES DEVIDO A POTENCIA DE PERDA
C... REFERENTE A HR NA LAMINA
XI1=.5*COSIN
XI2=(.25/(P*P))*(ABQ-CODIQ+P*SEDIV-(P*P)*(ALOG(B/A)-CO

```

Continuação

PROGRAMA N. 17

```

1 SIN))
XI3=((1.-CC)/P)*(P*ALOG(B/A)-SEDIV-P*COSIN)
XI4=CC*( ALOG(B/A)-.5*COSIN)
XI5=( (.25*CC)/(P*P))* (ABQ+CODIQ-P*SEDIV+(P*P)*(ALOG(B/
A)-COSIN))
XI6=-C*SENIN
XI7=(C/P)*(BA+CODIV+P*SENIN)
XI8=- (C/P)*(BA-CODIV-P*SENIN)
XI9=( (.5*C)/(P*P))* (-SEDIQ-P*(P*SENIN+CODIV))
SM1=.10305*1.E-3*P*PI/2.
SM1=XI1+XI2+XI3+XI4+XI5+XI6+XI7+XI8+XI9
C... REFERENTE A HZ NA LAMINA
AXI11=ALOG(B/A)-.5*COSIN
AXI12=(.5*CC)*COSIN
AXI13=C*SENIN
SM2=AXI11+AXI12+AXI13
WRITE(3,100)
DO 10 I=1*50
H2=HO/(FR)
RS=2.61*1.E-7*SQRT(FR)
OMEGA=2.*PI*FR
BG=SQRT((OMEGA/VL)**2-P*P)
AK=(BG*(PI**3)*H2*H2*Z3*FR)/(P**4)
HA=(2./ (PI*P))*AK
C... POTENCIA DE TRANSMISSAO
PO=(HA*SM3)*Z1
AP1=((RS*H2*H2*BG*BG))/(P*P*P*PI)
AP2=(RS*H2*H2)/(P*PI)
C... POTENCIA DE PERDA REFERENTE A H-TETA NOS CILINDROS
PL1=((RS*PI)/(2.*A))*(((BG*H2*FA)/(2.*P*P))**2)
PL2=((RS*PI)/(2.*B))*(((BG*H2*FB)/(2.*P*P))**2)
C... POTENCIA DE PERDA DEVIDO A HZ NOS CILINDROS
PL3=((RS*A*PI)/2.)*((H2*FA)**2)
PL4=((RS*B*PI)/2.)*((H2*FB)**2)
C... POTENCIA DE PERDA DEVIDO A HR NA LAMINA
PL5=AP1*SM1
C... POTENCIA DE PERDA DEVIDO A HZ NA LAMINA
PL6=AP2*SM2
C... POTENCIA DE PERDA TOTAL
PL=(PL1+PL2+PL3+PL4+2.* (PL5+PL6))*Z1
C... COEFICIENTE DE ATENUACAO
ALFA=(PL/(2.*PO))*8.686
WRITE(3,400)FR,PO,PL,ALFA
FR=FR+.09038138527*22
10 CONTINUE
100 FORMAT('1',18X,'RESULTADOS DO PROGRAMA',//,' FREQ.EM '
1,' Hz POT.DE TRANSM. POT.DE PERDA ALFA EM DB/M')
400 FORMAT(1X,E12.5,3X,E12.5,3X,E12.5,3X,E12.5)
STOP
END

```

RESULTADOS DO PROGRAMA

FREQ.EM HZ	POT. DE TRANSM.	POT. DE PERDA	ALFA EM DB/M
0.90381E 09	0.00000E 00	0.26847E-01	0.23320E 00
0.99419E 09	0.32283E 01	0.27644E-01	0.36072E-01
0.10845E 10	0.44162E 01	0.28465E-01	0.27993E-01
0.11749E 10	0.51048E 01	0.29297E-01	0.24924E-01
0.12653E 10	0.55913E 01	0.30130E-01	0.23403E-01
0.13557E 10	0.59548E 01	0.30960E-01	0.22580E-01
0.14461E 10	0.62365E 01	0.31783E-01	0.22133E-01
0.15364E 10	0.64608E 01	0.32597E-01	0.21912E-01
0.16268E 10	0.66428E 01	0.33401E-01	0.21837E-01
0.17172E 10	0.67931E 01	0.34193E-01	0.21860E-01
0.18076E 10	0.69188E 01	0.34974E-01	0.21953E-01
0.18980E 10	0.70252E 01	0.35742E-01	0.22095E-01
0.19883E 10	0.71162E 01	0.36499E-01	0.22275E-01
0.20787E 10	0.71945E 01	0.37244E-01	0.22482E-01
0.21691E 10	0.72626E 01	0.37978E-01	0.22710E-01
0.22595E 10	0.73222E 01	0.38700E-01	0.22954E-01
0.23499E 10	0.73746E 01	0.39411E-01	0.23209E-01
0.24402E 10	0.74210E 01	0.40112E-01	0.23474E-01
0.25306E 10	0.74623E 01	0.40803E-01	0.23747E-01
0.26210E 10	0.74992E 01	0.41484E-01	0.24024E-01
0.27114E 10	0.75323E 01	0.42155E-01	0.24305E-01
0.28018E 10	0.75621E 01	0.42816E-01	0.24590E-01
0.28922E 10	0.75891E 01	0.43469E-01	0.24876E-01
0.29825E 10	0.76135E 01	0.44113E-01	0.25163E-01
0.30729E 10	0.76358E 01	0.44749E-01	0.25451E-01
0.31633E 10	0.76562E 01	0.45377E-01	0.25740E-01
0.32537E 10	0.76748E 01	0.45996E-01	0.26028E-01
0.33441E 10	0.76919E 01	0.46608E-01	0.26316E-01
0.34344E 10	0.77076E 01	0.47213E-01	0.26603E-01
0.35248E 10	0.77221E 01	0.47811E-01	0.26889E-01
0.36152E 10	0.77355E 01	0.48402E-01	0.27174E-01
0.37056E 10	0.77479E 01	0.48986E-01	0.27458E-01
0.37960E 10	0.77594E 01	0.49563E-01	0.27740E-01
0.38863E 10	0.77701E 01	0.50135E-01	0.28022E-01
0.39767E 10	0.77801E 01	0.50700E-01	0.28301E-01
0.40671E 10	0.7784E 01	0.51259E-01	0.28579E-01
0.41575E 10	0.781E 01	0.51813E-01	0.28856E-01
0.42479E 10	0.78063E 01	0.52361E-01	0.29130E-01
0.43383E 10	0.78139E 01	0.52903E-01	0.29403E-01
0.44286E 10	0.78210E 01	0.53440E-01	0.29675E-01
0.45190E 10	0.78278E 01	0.53973E-01	0.29945E-01
0.46094E 10	0.78341E 01	0.54500E-01	0.30213E-01
0.46998E 10	0.78401E 01	0.55022E-01	0.30479E-01
0.47902E 10	0.78457E 01	0.55540E-01	0.30744E-01
0.48805E 10	0.78510E 01	0.56053E-01	0.31007E-01
0.49709E 10	0.78560E 01	0.56561E-01	0.31268E-01
0.50613E 10	0.78608E 01	0.57065E-01	0.31527E-01
0.51517E 10	0.78653E 01	0.57565E-01	0.31785E-01
0.52421E 10	0.78695E 01	0.58060E-01	0.32042E-01
0.53325E 10	0.78736E 01	0.58552E-01	0.32296E-01

APÊNDICE G

REFERÊNCIAS

- G.01 - ANGOT, A.: "Complements Mathematiques", Masson & Cie.,
Editeurs, Paris, 1965.
- G.02 - MARCUVITZ, N.: "Waveguid Handbook", vol. X, McGraw-Hill,
N. York, 1951.
- G.03 - JORDAN, Edgard C.: "Eletromagnetic Waves and Radiating
Systems", Prentice-Hall.
- G.04 - RAMO, S.; WHINNERY, J. R. & VAN DUZER, T.: "Fields and
Waves in Communications Electronics", John Wiley and
Sons, Inc., Tokyo, 1965.
- G.05 - MEINKE, H. W.; LANGE, K. P. & RUGER, J. F.: "Waveguides
of Very ^{78°} _{779°} Cross Section", IEE 963, page 1436/43.
- G.06 - ATWATER, H. A.: "Introduction to Microwave Theory", Mc-
Graw-Hill, Tóquio, 1962.
- G.07 - CLENSHAW, C.W.: "Chebyschev Series for Mathematical Func-
tions", Department of Scientific and Industrial Research,
London, 1962.